

ΠΡΑΚΤΙΚΑ ΤΗΣ ΑΚΑΔΗΜΙΑΣ ΑΘΗΝΩΝ

ΣΥΝΕΔΡΙΑ ΤΗΣ 4^{ΗΣ} ΙΟΥΝΙΟΥ 1987

ΠΡΟΕΔΡΙΑ ΚΩΝΣΤΑΝΤΙΝΟΥ ΜΠΟΝΗ

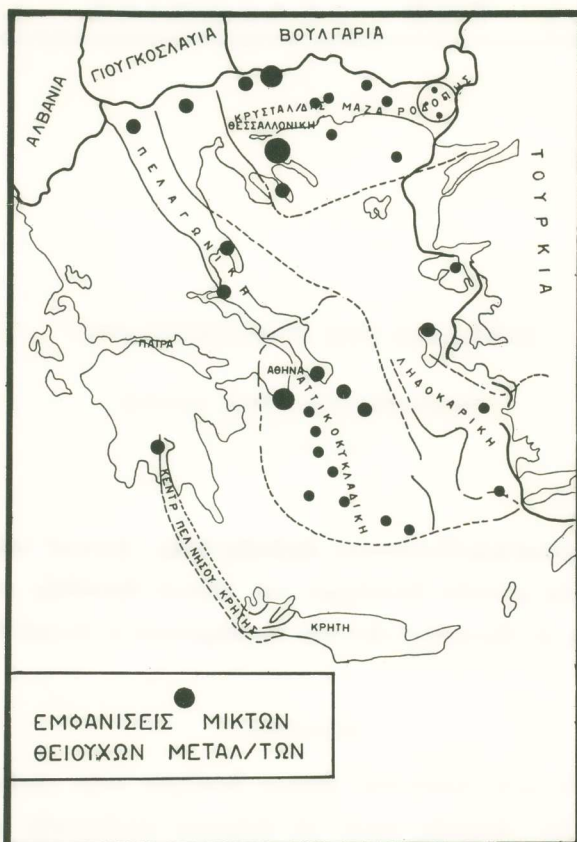
ΓΕΩΛΟΓΙΑ. — Γεωλογική-Τεκτονική έξέλιξη στήν 'Αττική καὶ ἡ βαρίσκιος μεταλλοφορία μικτῶν θειούχων καὶ ἄλλων δρυκτῶν στήν 'Ελλάδα, ὑπὸ Γεωργίου Δ. Παπαδέα*, διὰ τοῦ Ἀκαδημαϊκοῦ κ. Λουκᾶ Μούσουλου.

ΕΙΣΑΓΩΓΗ

'Ο ἐντοπισμὸς μιᾶς ἐμφάνισης μικτῶν θειούχων στήν περιοχὴ Μαραθώνα (Μπίκιζα-Καλέντζι) 'Αττικῆς κατὰ τὴ διάρκεια γεωλογικῆς χαρτογράφησης ὑπῆρξε ἡ ἀφορμὴ γιὰ τὴν ἐργασία αὐτή, ποὺ ἀσχολεῖται μὲ τὴ γένεση τῶν παραπάνω μεταλλευμάτων. 'Εμφανίσεις μικτῶν θειούχων εἶναι γνωστὲς ἀπὸ τὴν ἀρχαιότητα σχεδὸν σὲ ὅλη τὴν 'Ανατολικὴ 'Ελλάδα, ὅπως π.χ. ἡ ἐκμετάλλευση τῶν μεταλλευμάτων τοῦ Λαυρίου. 'Ιδιαίτερο ἐνδιαφέρον συγκέντρωσε μεταξὺ ἄλλων ἡ περιεκτικότητα σὲ χρυσὸ (Au) καὶ ἄργυρο (Ag). 'Η διάβρωση, ποὺ ἀκολούθησε τὴν μέσο- καὶ μεταλπικὴ ὁρογένεση κυρίως στήν 'Ανατολικὴ 'Ελλάδα, ἔφερε στὸ φῶς κατώτερα στρώματα τοῦ Παλαιοζωϊκοῦ, μέσα στὰ ὅποια βρίσκονται τὰ μικτὰ θειούχα. Στὴ Δυτικὴ 'Ελλάδα ἡ διάβρωση αὐτὴ δὲν ἔφθασε μέχρι τὸ Παλαιοζωϊκό, γι' αὐτὸ τὸ λόγο δὲν ὑπάρχουν ἐμφανίσεις μικτῶν θειούχων.

Γιὰ τὴν ἐρμηνεία τῆς γένεσης καὶ τῆς ἡλικίας τῶν κοιτασμάτων αὐτῶν ἐργάστηκαν πολλοὶ 'Ελληνες καὶ ξένοι γεωλόγοι, οἱ περισσότεροι ἀπὸ τοὺς ὅποιους θεω-

* GEORGES D. PAPADEAS, Geological and Tectonic evolution in Attica and the Variscan mixed sulfide e.t.c. mineralization in Greece.



Σχ. 1. Έμφανίσεις μικτῶν θειούχων μεταλλευμάτων στήν Ελλάδα κατά Μούσουλο 1962.

Βλ. και Ζάχος-Μαράτος-μεταλλογενετικός χάρτης τῆς Ελλάδας ΙΓΕΥ 1965

ροῦν τὴ γένεση πνευματολυτικῆς καὶ ὑδροθερμικῆς προέλευσης σχετιζόμενη μὲ τὸ μεταλπικὸ πλουτωνισμό.

Μὲ τὴν ἀνάλυση τῆς στρωματογραφίας, πετρογραφίας καὶ τεκτονικῆς μὲ βάση ἀπολιθώματα ποὺ βρέθηκαν καὶ ἀκόμα μὲ στοιχεῖα ἀπὸ τὴν εἰδικὴ βιβλιογραφία ἐπιχειρεῖται μιὰ προσέγγιση τῶν προβλημάτων τῆς Ἀττικοκυκλαδικῆς μάζας καὶ ἄλλων περιοχῶν καὶ μελετᾶται ὁ τρόπος γένεσης τῶν μικτῶν θειούχων καὶ πολλῶν ἄλλων μεταλλευμάτων σ' αὐτή, καθὼς καὶ ἡ παλαιογεωγραφικὴ τῆς ἔξέλιξη.

Στὴ μελέτη αὐτὴ παρουσιάζεται μία ἐρμηνεία γιὰ τὸν τρόπο γένεσης τῶν Pb, Zn, Fe, Au, Ag, Mn, Ni, Cu καὶ ἄλλων μεταλλευμάτων τῆς Ἀττικῆς, Εύβοιας, τῶν Κυκλαδῶν, τῆς Πελοποννήσου καὶ τῆς Βορείου Ελλάδος, ἐνῶ παράλληλα συσχετίζονται οἱ διάφορες ἔμφανίσεις.

1. ΓΕΩΛΟΓΙΑ ΚΑΙ ΤΕΚΤΟΝΙΚΗ ΕΞΕΛΙΞΗ ΣΤΗΝ ΑΤΤΙΚΗ

Μετά από πολλές έρευνες στὸ χῶρο τῆς ΒΑ. Ἀττικῆς ἀποδείχτηκε ἡ πλευρικὴ μεταβάση τῶν μὴ μεταμορφωμένων πετρωμάτων τῆς Πάρνηθος στὰ μεταμορφωμένα τοῦ Μαραθώνα (Παπαδέας 1969, 1973, 1986).

Τὰ ἀπολιθώματα, ἡ πετρογραφία καὶ ἡ τεκτονικὴ παρουσιάζουν καὶ στὶς δύο περιοχὲς τῆς Ἀττικῆς τὴν ἔδια ἐξέλιξη. Ἀποδεικνύεται ἔτσι ὅτι τὰ ἵζματα τῶν μεταμορφωμένων περιοχῶν εἶναι μεσοζωϊκῆς καὶ παλαιοζωϊκῆς ἡλικίας. Τὰ χαρακτηριστικὰ πετρώματα στὶς περιοχὲς αὐτὲς εἶναι μάρμαρα, δολομίτες, γνεύσιοι, διάφοροι σχιστόλιθοι καὶ μετατόφφοι. Ὁ μετατόφφος εἶναι ἔνας χαρακτηριστικὸς ὄριζοντας σὲ πολλὲς περιοχὲς τῆς Ἀνατολικῆς Ἐλλάδας. Πάνω σ' αὐτὸ τὸ πέτρωμα στὴ Β. καὶ ΒΑ. Ἀττικὴ κάθονται μὲ ἀσυμφωνίᾳ ἵζματα τοῦ Μέσου Λιθανθρακοφόρου καὶ νεότερα, (Τρικαλαίνδος 1959, Παπαδέας 1969-1986). Ἔτσι μποροῦμε νὰ ὑποθέσουμε καὶ τὴν ἡλικία τῶν ὑποκείμενων σχηματισμῶν καὶ νὰ τοὺς τοποθετήσουμε σὲ μιὰ προ-μεσολιθανθρακοφόρο ἐποχὴ, προφανῶς Δεβόνιο ἢ καὶ Σιλούριο, ἀφοῦ καὶ ὁ Τρικκαλαίνδος (1950, σελ. 503) ἀναφέρει ὅτι «ὁ Κορδέλλας βρῆκε σὲ μάρμαρο κοντὰ στὸ Λαύριο κρινοειδὴ Σιλούρίου ἡλικίας».

Γιὰ τὴν κατανόηση τῆς στρωματογραφικῆς τομῆς παραθέτω πιὸ κάτω μιὰ σύντομη ἀνάλυση ἀπὸ τὴ Β. ΒΑ. καὶ ΝΑ. Ἀττική, μὲ περισσότερη ἔμφαση στοὺς ἡφαιστειακοὺς σχηματισμούς.

1.1. Στρωματογραφικὴ καὶ Παλαιοτεκτονικὴ ἀνάλυση

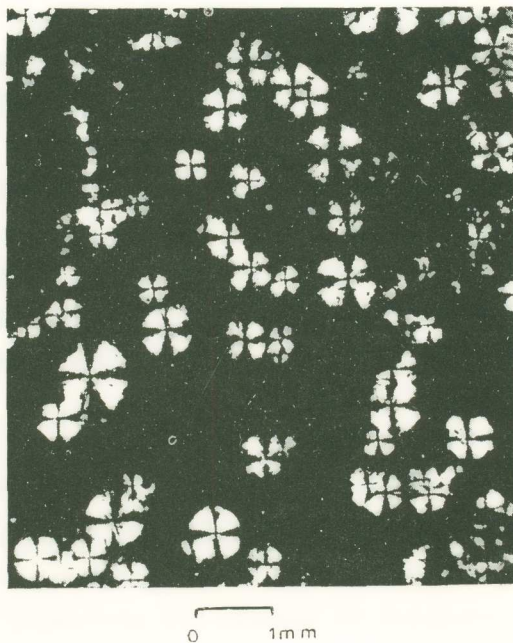
Ο κατώτερος στρωματογραφικὸς ὄριζοντας στὴν Ἀττικὴ εἶναι τὸ κατώτερο μάρμαρο Πεντέλης ἢ Λαυρίου μὲ πάχος, βάσει τῆς βιβλιογραφίας, περίπου 500-600 m. Στὰ ἀνώτερα στρώματά του ἀκολουθεῖ ἔνας μετατόφφος¹ πάχους 20-800 m καὶ πλέον, ὁ ὁποῖος ἐναλλάσσεται μὲ ἐντρώσεις μαρμάρων πάχους 2-3 m καὶ ἀσβεστιτικῶν-μαρμαρυγιακῶν κ.ἄ. σχιστόλιθων μικροῦ πάχους.

Κατὰ τὸν Τρικκαλαίνδο (1958) ὁ μετατόφφος αὐτὸς στὴν Πάρνηθα κάθεται μὲ ἀσυμφωνία πάνω στὸν ἀσβεστιτικό-μαρμαρυγιακὸ σχιστόλιθο. Στὴ ΒΑ. μεταμορφωμένη Ἀττικὴ ἡ ἀσυμφωνία αὐτὴ δὲν ἔγινε ἀντιληπτή. Στὴν Πεντέλη ὁ μετα-

1. Μὲ βάση τὴν ὑποεπιτροπὴν IUGS γιὰ τὸν καθορισμὸ τῆς ὄνοματολογίας καὶ ταξινόμησης τῶν πυριγενῶν πετρωμάτων (Schmid 1981) τὸ ἡφαιστειακὸ πέτρωμα ταξινομεῖται ὡς «μετατόφφος». Σὲ παλαιότερες ἐργασίες μου ἀναφέρεται ὡς «μετατουφρίτης» (Παπαδέας 1969, 1973, 1986).

τόφρος αύτὸς ἐναλλάσσεται στὰ κατώτερα στρώματά του μὲ τὰ ἀνώτερα στρώματα τοῦ κατώτερου μάρμαρου τῆς Πεντέλης. Στὸ Μαραθώνα παρεμβάλλεται κανονικὰ ὁ ἀσβεστιτικός-μαρμαρυγιακὸς σχιστόλιθος.

Ο μετατόφρος αύτὸς περιέχει: πλαγιόκλαστο, δρυόκλαστο, χαλαζία, μαρμαρυγία (μοσχοβίτη, βιοτίτη), χλινοζοσίτη, ζιρκόνιο, ἀσβεστίτη, γυαλί καὶ περισσότερο στ' ἀνώτερα μέλη του κόκκους μεταλλικῶν δρυκτῶν. Ορισμένα στρώματα τοῦ μετατόφρου, ἔκτὸς ἀπὸ τὰ παραπάνω δρυκτά, περιέχουν ἄφθονο ἐπίδοτο, γλαυκοφανὴ (ἀμφίβολο), λευκόξενο καὶ μεγάλη περιεκτικότητα σὲ κόκκους μεταλλικῶν δρυκτῶν.



Σχ. 2. Δακίτης (+nicols) περιοχὴ Μπίκιζα Μαραθῶνος

Η ἀμορφη μάζα μὲ πολλοὺς σφαιρόλιθους ἀπὸ χαλκηδόνιο δείχνει τὴν ἡφαιστειακὴ προέλευση τοῦ παραπάνω πετρώματος (Σχ. 2).

Χημικὲς ἀναλύσεις σὲ διάφορα στρώματα τοῦ μετατόφρου στὴν Πεντέλη καὶ τὸ Μαραθώνα ἔδωσαν ἐπὶ τοῖς %:

	SiO ₂	TiO ₂	Al ₂ O ₃	Fe ₂ O ₃	FeO	MnO	MgO	CaO	Na ₂ O	K ₂ O	P ₂ O ₅	Απώλεια πύρωσης
Π ₁	53,5	1,2	17,0	9,6	6,31	0,13	5,1	5,4	3,3	0,03	0,07	4,0
Π ₂	76,0	0,2	12,6	1,75	0,79	0,04	0,8	1,0	2,2	3,1	0,15	1,5
M ₁	62,0	0,3	15,6	6,6	1,15	0,08	1,6	4,8	5,0	0,7	0,08	3,0
M ₂	65,0	0,3	14,0	6,2	0,64	0,08	2,0	4,8	2,2	1,4	0,06	3,7
M ₃	76,0	0,1	12,5	1,25	0,28	0,05	0,5	1,0	4,1	3,1	0,00	1,0

Π₁ Μεσαία στρώματα στήν Πεντέλη

Π₂ Κατώτερα στρώματα στήν Πεντέλη

M₁ 'Ανώτερα στρώματα στὸ Μαραθώνα

M₂ Μεσαία στρώματα στὸ Μαραθώνα

M₃ Κατώτερα στρώματα στὸ Μαραθώνα

'Ο Χ. Παπατρέχας, πετρογράφος τοῦ ΙΓΜΕ, ἐπεξεργάστηκε τὴν NORM CIPW· ἐφαρμόζοντας τ' ἀποτελέσματά της στὸ δυνητικὸ διάγραμμα Q (F)-ANOR, τὰ δείγματα χαρακτηρίστηκαν ὡς ἔξῆς:

Π₁: Μεσαία στρώματα μετατόφφου Πεντέλης : Χαλαζιακὸς ἀνδεσίτης

Π₂: Κατώτερα στρώματα μετατόφφου Πεντέλης : Ρυοδακίτης

M₁: 'Ανώτερα στρώματα μετατόφφου Μαραθώνα : Χαλαζιακὸς λατιανδεσίτης

M₂: Μεσαία στρώματα μετατόφφου Μαραθώνα : Δακίτης

M₃: Κατώτερα στρώματα μετατόφφου Μαραθώνα : Ρυοδακίτης

'Απὸ τὶς ἀναλύσεις αὐτὲς φαίνεται ὅτι ἡ ἡφαιστειακὴ δραστηριότητα στήν περιοχὴ ἀρχίζοντας μὲ προϊόντα πιὸ ὅξινα ἐμπλουτίστηκε στὴ συνέχεια μὲ βασικὰ ὄλικά, μὲ ἀποτέλεσμα νὰ ἔχουμε ὡς τελικὴ φάση προϊόντα λιγότερο ὅξινα.

(Ρυοδακίτης → Δακίτης → Χαλαζιακὸς λατιανδεσίτης)

Οἱ χημικὲς ἀναλύσεις ἔγιναν στὸ Χημεῖο τοῦ ΙΓΜΕ ἀπὸ τὸν Κ. Λεώνη.

'Η ἐπεξεργασία τῶν χημικῶν ἀναλύσεων ἔγινε στὸν ἡλεκτρονικὸ ὑπολογιστὴ τοῦ ΙΓΜΕ ἀπὸ τὸν ὁρυκτολόγο Β. Περδικάτση.

Τὰ συστατικὰ τοῦ ἡφαιστειακοῦ πετρώματος καὶ οἱ ἐνστρώσεις μαρμάρων μέσα σ' αὐτὸ δείχνουν ὅτι πρόκειται γιὰ ἡφαιστειακὰ προϊόντα ἀσβεστολκαλικοῦ τύπου, τὰ ὁποῖα ἀποτέθηκαν μέσα σὲ γεωσύγκλινο (γεωσυγκλινικὴ ἡφαιστειότητα σὲ περιοχὴ σύγκλισης τεκτονικῶν πλακῶν).

Τὰ παραπάνω στρώματα στὰ μὴ μεταμορφωμένα πετρώματα τῆς Πάρνηθας, καθὼς καὶ στὰ μεταμορφωμένα τῆς Πεντέλης-Μαραθώνα ἔχουν ὑποστεῖ μιὰ πτύχηση ἀνεξάρτητη τῶν ὑπερκείμενων σχηματισμῶν. Πάνω σ' αὐτὰ κάθονται μὲ ἀσυμφωνία ίζηματα τοῦ Μέσου Λιθανθρακοφόρου καὶ νεότερα.

Πρόκειται γιὰ μιὰ ὁρογενετικὴ κίνηση, ποὺ πιθανῶς ν' ἀνήκει στὴ βρετονικὴ φάση τῆς βαρίσκιας ὁρογένεσης, ποὺ δημιούργησε στὰ ίζηματα αὐτὰ μεγάλες πτυχὲς μὲ ἀξονα BA-NΔ διεύθυνσης περίπου 40° καὶ κατακλάσεις διεύθυνσης BA-NΔ 35°-50° καὶ BΔ-NA 30°-50°.

Ἡ ἀνοδικὴ ὁρογενετικὴ κίνηση (Emersion), ποὺ εἶχε ὡς ἀποτέλεσμα ἀνάδυση τῆς Ἀττικῆς καὶ προφανῶς ὀλοκλήρου τοῦ ἑλλαδικοῦ χώρου (ἔχει ἀποδειχθεῖ στὴ Ροδόπη, Χίο, Ἀττικοκυκλαδικὴ περιοχὴ), ἔγινε περὶ τὸ τέλος τῆς ὑποθαλάσσιας ἡφαιστειακῆς δραστηριότητας. Κατὰ τὴ διάρκεια αὐτῆς τῆς ἀνάδυσης ἡ παραπάνω σειρὰ πετρωμάτων, καὶ περισσότερο ὁ μετατόφφος, ὑπέστη μιὰ πολὺ ἔντονη χημικὴ καὶ μηχανικὴ διάβρωση.

Ο μετατόφφος κατὰ περιοχὲς ἔχει διαβρωθεῖ ἐντελῶς (Καμάριζα Λαυρίου, Ἐρέτρια Εύβοιας κ.ἄ.).

Σχεδὸν παντοῦ στὶς διαβρωμένες ἐπιφάνειες παρατηροῦνται ἡ πειρωτικὰ ὄξειδωμάτων καὶ μή, μεταλλεύματα μολύβδου, ψευδαργύρου, σιδήρου, καθὼς καὶ ἄλλων ὀρυκτῶν, (βλ. σελ. 445).

Στὸ Μέσο Λιθανθρακοφόρο (Βεστφάλιο) πολλὲς περιοχὲς τῆς Ἀττικῆς βυθίζονται ξανὰ καὶ εἰσχωρεῖ ἡ θάλασσα. Μὲ τὴ νέα αὐτὴ καταβύθιση διαμορφώνεται ἡ παλαιομορφολογία τοῦ Προ-μεσολιθανθρακοφόρου τόσο στὴν Ἀττική, ὅσο καὶ σὲ διάφορο τὸν ἑλλαδικὸ χῶρο. Κατὰ τὴ διάρκεια τοῦ Λιθανθρακοφόρου καὶ ἀργότερα πολλὲς περιοχὲς ἔμειναν χέρσες καὶ τροφοδοτοῦσαν μὲ κλαστικὰ καὶ ἄλλα ύλικὰ τὶς χαμηλότερες λεκάνες. Ο Bonneau (1987) π.χ. παρατηρεῖ μέσα στὸ Τριαδικὸ τῆς Ζώνης Πίνδου στὴν Κρήτη ἀπολιθώματα δεβονίου ἥλικίας.

Τὰ ίζηματα τοῦ Μέσου Λιθανθρακοφόρου, ποὺ κάθονται μὲ ἀσυμφωνία πάνω στοὺς διαβρωμένους μετατόφφους, μεταλλεύματα καὶ λοιποὺς σχηματισμοὺς τοῦ ὑποβάθρου, εἶναι στὶς παράκτιες καὶ χερσαῖς περιοχὲς κλαστικὰ (κροκαλοπαγή, ψαμμίτες), ἐνῶ ἀντίθετα στὶς θαλάσσιες ἐπικρατεῖ μιὰ σχετικὰ ἥσυχη ἀσβεστιτικὴ

ιζηματογένεση ἀβαθοῦς θάλασσας.

Ο κατώτερος δρίζοντας του Μέσου Λιθανθρακοφόρου, που στή μεταμορφωμένη Ἀττικὴ εἶναι κυρίως μάρμαρο (Μαραθώνας-Πεντέλη: Μ₂, ἐνδιάμεσο μάρμαρο Ὑμηττοῦ, ἐνδιάμεσα μάρμαρα Λαυρίου: Subordonnés), ἔχει διαφορετικὸ πάχος ἀπὸ περιοχὴ σὲ περιοχὴ λόγω τῆς προγενέστερης παλαιομορφολογίας καὶ κυμαίνεται στὴ Β., ΒΑ. καὶ Ν. Ἀττικὴ ἀπὸ 5-150 m.

Ἡ ἀσβεστιτικὴ φάση του Λιθανθρακοφόρου διακόπτεται στὴν περιοχὴ τοῦ Ἀνω Σουλίου Μαραθώνα, καθὼς καὶ στὴ Ν. Ἀττικὴ ἀπότομα καὶ ἐμφανίζεται ἕνας μοσχοβιτικὸς σχιστόλιθος μὲ λίγο βιοτίτη. Ὁ σχιστόλιθος αὐτὸς περιέχει ἐνστρώσεις ἀπὸ κυανούς, καστανόχρωμους καὶ μαύρους μικροὺς φακοὺς μαρμάρων, καθὼς καὶ πολλὲς διεισδύσεις ἀπὸ μάγμα ἀνδεσιτικοῦ τύπου. Τὸ πάχος του μεταβάλλεται ἀπὸ περιοχὴ σὲ περιοχὴ καὶ κυμαίνεται στὴ Β. Ἀττικὴ ἀπὸ 50-600 m.

Χημικὲς ἀναλύσεις ἀπὸ τὸ μοσχοβιτικὸ σχιστόλιθο στὸ Μαραθώνα ἔδωσαν ἐπὶ τοῖς %:

	SiO ₂	TiO ₂	Al ₂ O ₃	Fe ₂ O ₃	FeO	MnO	MgO	CaO	Na ₂ O	K ₂ O	P ₂ O ₅	Ἀπώλεια πύρωσης
A.	70,0	0,75	10,6	3,17	1,29	0,09	1,33	4,7	1,07	0,92	0,07	5,8
B.	38,0	1,5	14,8	7,6	5,03	0,13	4,2	15,0	3,5	0,4	0,4	14,1

A. Ἀνώτερα στρώματα

B. Κατώτερα στρώματα

Οι χημικὲς ἀναλύσεις δείχνουν ὅτι ὁ σχιστόλιθος αὐτὸς ἔχει ποικίλη μεταβαλλόμενη χημικὴ σύσταση.

Μιὰ χημικὴ ἀνάλυση ἀπὸ τὶς ἀνδεσιτικὲς διεισδύσεις ἔδωσε ἐπὶ τοῖς %:

	SiO ₂	TiO ₂	Al ₂ O ₃	Fe ₂ O ₃	FeO	MnO	MgO	CaO	Na ₂ O	K ₂ O	P ₂ O ₅	Ἀπώλεια πύρωσης
	49,0	2,0	15,8	6,16	3,73	0,12	6,7	4,2	4,8	0,05	0,35	6,8

Ο ἀνδεσίτης αὐτὸς, που στὴ διάρκεια τῆς μεταμόρφωσης προσαρμόστηκε στὴν ἀλβιτικὴ-χλωριτικὴ σχιστολιθικὴ φάση, περιέχει: πλαγιόκλαστο, χλωρίτη, ἐπίδοτο, τιτανίτη, κλινοζοϊσίτη, ἀσβεστίτη καὶ λίγο χαλαζία.

Στὴ βάση του παραπάνω μοσχοβιτικοῦ σχιστόλιθου, δηλ. στὴν ἐπαφὴ του μὲ

τὸν ὑποκείμενο ἀσβεστιτικό-μαρμαρυγιακὸ σχιστόλιθο μὲ τὶς ἐνστρώσεις τῶν μαρμάρων τοῦ Λιθανθρακοφόρου, ὑπάρχει στὸ Μαραθώνα καὶ γενικὰ στὴν Ἀττική (‘Υμηττός-Λαύριο) ἔνα στρωματογραφικὸ κενό. Πρόκειται περὶ μιᾶς ἀσυμφωνίας μεταξὺ τῶν δύο αὐτῶν σχηματισμῶν, ποὺ λόγω ἀπουσίας ἀπολιθωμάτων-κροκαλοπαγῶν καὶ τῆς μεταμόρφωσης τῶν σχιστολιθικῶν πετρωμάτων δὲν ἔγινε ἀντιληπτὴ ἀπὸ παλαιότερους ἐρευνητές.

Στὴν ἐπαφὴ τῶν δύο αὐτῶν σχηματισμῶν παρατηρήθηκε πρόσφατα σὲ πολλὲς περιοχὲς τῆς Ἀττικῆς μιὰ διάβρωση τῶν ὑποκείμενων σχηματισμῶν.

Ἐδῶ ἔγινε μιὰ ὀρογένεση μὲ ἀνοδικές κινήσεις, διακοπὴ τῆς ἵζηματογένεσης (Emersion) καὶ διάβρωση τοῦ ὑπόβαθρου. Μιὰ παλαιοδιάβρωση περμικῶν σχηματισμῶν παρατηρήθηκε καὶ στὴν Πάρνηθα (περιοχὴ μὴ μεταμορφωμένων πετρωμάτων). Ἐπίσης καὶ στὴν περιοχὴ τῆς Εύβοιας ὁ Κατσικάτσος (1970) καὶ ἄλλοι ἀναφέρουν ἐπίκλυση τῶν κάτω τριαδικῶν σχηματισμῶν πάνω στὸ Λιθανθρακοφόρο.

Ο παραπάνω σχηματισμὸς ἀντιπροσωπεύει στὴν Κεντρικὴ καὶ Νότιο Ἀττικὴ τὸ σχιστόλιθο Καισιαριανῆς ἢ Καμάριζας. Καὶ ἐδῶ ὁ σχιστόλιθος αὐτὸς ἔχει διαφορετικὸ πάχος ἀπὸ περιοχὴ σὲ περιοχὴ καὶ κυμαίνεται κατὰ Μαρίνο-Petrascheck (1956) ἀπὸ 20-300 m.

Ο σχηματισμὸς αὐτὸς, σύμφωνα μὲ ἀπολιθώματα στὴν Πάρνηθα (Bender 1962, Δούνας 1971) καὶ στὴν Εύβοια (Κατσικάτσος 1970), ἀνήκει στὸ Κατώτερο Τριαδικό.

Στὴ μὴ μεταμορφωμένη Ἀττικὴ ἀκολουθοῦν ψαμμίτες, ἀσβεστόλιθοι ἐν μέρει μὲ Silex καὶ δολομίτες. Στὴ μεταμορφωμένη B. Ἀττικὴ ἀκολουθεῖ ἔνα μάρμαρο μὲ χαλαζιακές ἐνστρώσεις καὶ ὡειδὴ ἐγκλείσματα ἀσβεστιτικοῦ ὄλικοῦ, πάχους 5 m. Αὐτὸς ὁ σχηματισμὸς ἀποσφηνώνεται πρὸς A. καὶ BA. Ἀκολουθεῖ ἔνας διμαρμαρυγιακὸς σχιστόλιθος πάχους 3-5 m, καὶ μετὰ ἡ ἀσβεστιτική-δολομιτικὴ φάση τοῦ Τριαδικοῦ, πάχους 150-200 m.

Τὸ Ἰουρασικό, ποὺ ἀντιπροσωπεύεται στὴν Ἀνατολικὴ Ἑλλάδα κυρίως ἀπὸ ὀφιόλιθους καὶ κερατόλιθους (σχιστοκερατολιθικὴ διάπλαση), δὲν ἔμφανίζεται στὴ B. καὶ BA. Ἀττικὴ (Πάρνηθα-Μαραθώνα). Φαίνεται ὅτι εἶχε ἀποτεθεῖ στὶς παραπάνω περιοχὲς καὶ διαβρώθηκε πρὶν τὴν ἀπόθεση τῶν ἵζημάτων τοῦ Ἀνωτέρου Κρητιδικοῦ. Ὅπολειμματά του (όφιολιθικά-κερατολιθικὰ καὶ ἄλλα κροκαλοπαγή) παρατηροῦνται στὸ Μαραθώνα, μέσα στὸ κροκαλοπαγὲς ποὺ βρίσκεται μεταξὺ τοῦ Τριαδικοῦ καὶ τοῦ Ἀνωτέρου Κρητιδικοῦ, καθὼς καὶ μέσα στὰ κατώτερα στρώματα τῶν ἀνωκρητιδικῶν μαρμάρων, μὲ τὴν μορφὴ κλαστικῶν καὶ κυρίως χημικῶν

προϊόντων. Έμφανίζεται όμως μεμονωμένα στήν ἀνατολική πλευρά του Αἰγαλεω καὶ στὸ Λεκανοπέδιο τῆς Ἀθήνας μὲ τὴ μορφὴ τεκτονικοῦ καλύμματος (Δούνας-Γαῖτανάκης 1981). Παρατηρεῖται ἐπίσης σὲ τοπικὲς ἐμφανίσεις στὸ Λεκανοπέδιο τῆς Ἀθήνας, στὴ ΒΑ. πλευρὰ του Ὅμηττοῦ καὶ σὲ πολλὲς τοποθεσίες στη Νότιο Ἀττική, ποὺ ἀποτελοῦν ὑπολειμματικοὺς σχηματισμοὺς μιᾶς παλαιοδιάβρωσης. Ἡ διάβρωση αὐτὴ τῆς σχιστοκερατολιθικῆς διάπλασης μὲ τοὺς ὄφιόλιθους κλπ. ἀρχισε μετὰ ἀπὸ μιὰ ἀνοδικὴ κίνηση παλαιότερη τῆς ἀνωχρητιδικῆς ἡλικίας καὶ συνεχίσθηκε στὴ διάρκεια του Ἀνωτέρου Κρητιδικοῦ.

Στοὺς ὑπολειμματικοὺς σχηματισμοὺς του Ἰουρασικοῦ (όφιόλιθοι κ.λπ.) κάθονται μὲ ἀσυμφωνίᾳ ἵζηματα του Ἀνωτέρου Κρητιδικοῦ.

Τὸ Ἀνώτερο Κρητιδικὸ (ἀσβεστόλιθοι) στήν περιοχὴ τῶν μὴ μεταμορφωμένων πετρωμάτων τῆς Πάρνηθας, του Αἰγαλεω καὶ ἄλλων περιοχῶν, κάθεται μὲ ἀσυμφωνίᾳ πάνω σὲ διαβρωμένα τριαδικὰ ἵζηματα. Στὴ μεταμορφωμένη περιοχὴ του Μαραθώνα τὸ Ἀνώτερο Κρητιδικὸ διαπίστωθηκε στὸ Κάτω Σούλι καὶ στὴν Ἀγία Μαρίνα σὲ μάρμαρα μεγάλου πάχους, μὲ νερινέες καὶ ρουδιστές (Παπαδέας 1969-1986).

Στὸ φυλλιτικὸ σύστημα του Λαυρίου (P_2), μέσα σὲ ἀσβεστολιθικοὺς φακοὺς στήν περιοχὴ Βερζέκο, οἱ Leleu-Neumann (1969) διαπίστωσαν μικροπανίδα ἄνω κρητιδικῆς ἡλικίας.

Μεταξὺ Πεντέλης καὶ Ὅμηττοῦ (Λεκανοπέδιο Ἀθηνῶν) ἐμφανίζεται ἡ πολυφασικὴ σειρὰ ἵζημάτων του «ἀθηναϊκοῦ σχιστόλιθου», ἡ ὅποια καλύπτεται σὲ ὄρισμένες περιοχὲς ἀπὸ ἀσβεστόλιθους. Ἀπὸ πρόσφατες ἔρευνες διατυπώθηκαν γιὰ τὰ ἵζηματα αὐτὰ οἱ παρακάτω ἡλικίες: 'Ο Τάταρης (1966, 72) ταυτίζει τοὺς ἀθηναϊκοὺς σχιστόλιθους μὲ τὴ σχιστοκερατολιθικὴ διάπλαση-όφιόλιθους κ.λπ., ἡλικίας Μέσου Ἰουρασικοῦ. Οἱ Μαρίνος Γ. καὶ συνεργάτες (1971-74) θεωροῦν τὴν ἡλικία ὅλου του συστήματος τῆς Ἀθήνας μαζὶ μὲ τοὺς ἀσβεστόλιθους τῶν ἀθηναϊκῶν λόφων ὡς "Ἄνω Κρητιδικὴ (Κενομάνιο ἔως Μαιστρίχτιο) μὲ κεντρικὴ ἡλικία τὸ Σενώνιο. Οἱ Παρασκευαΐδης καὶ Χωριανοπούλου (1978), τοποθετοῦν ὅλο τὸ σύστημα στὸν ἄνω κρητιδικὸ Φλύσκη (Καμπάνιο-Μαιστρίχτιο).

Οἱ Δούνας καὶ Γαῖτανάκης (1981) διακρίνουν δύο συστήματα. Μιὰ αὐτόχθονη σειρὰ μὲ φλυσχοειδὴ ἵζηματα (ἀθηναϊκοὶ σχιστόλιθοι) καὶ ἀσβεστόλιθους μὲ ἡλικία ποὺ ἀρχίζει ἀπὸ τὸ «Μαιστρίχτιο καὶ πιθανῶς φθάνει μέχρι τὸ Ἡώκαινο» καὶ μιὰ ἀλλόχθονη σειρὰ ποὺ ἐμφανίζεται μεμονωμένα μὲ σερπεντινιωμένους περιδοτῖτες ἰουρασικῆς ἡλικίας, οἱ ὅποιοι καλύπτονται μὲ ἀσυμφωνίᾳ ἀπὸ ἄνω κρητιδι-

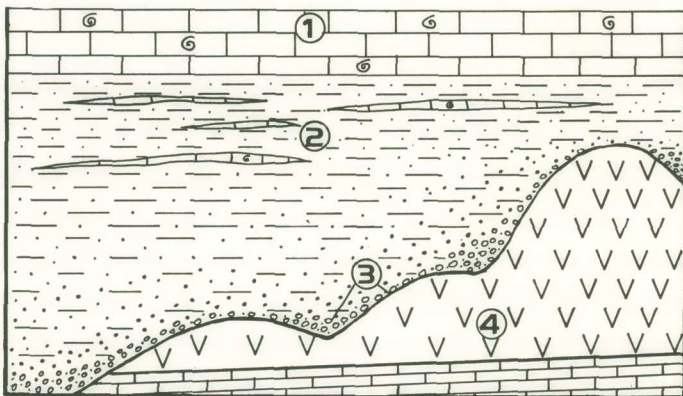
κούς ἀσβεστόλιθους. Ἡ ἀλλόχθονη σειρά, κατὰ τοὺς παραπάνω ἐρευνητές, εἶναι ἐπωθημένη πάνω στὴν αὐτόχθονη.

Στὴν Κεντρικὴ καὶ Νότιο Ἀττικὴ (Λεκανοπέδιο Ἀθηνῶν κ.λπ.) τὰ ἵζηματα τοῦ ἀθηναϊκοῦ σχιστόλιθου ἔχουν φλυσχοειδὴ χαρακτήρα καὶ κάθονται μὲ ἀσυμφωνίᾳ σὲ ἔντονα διαβρωμένους ίουρασικοὺς ὑπολειμματικοὺς σχηματισμοὺς (όφιόλιθοι κ.λπ.) καὶ τριαδικοὺς σχηματισμοὺς (κρυσταλλικοὶ ἀσβεστόλιθοι Καισιαριανῆς καὶ νότιας παρυφῆς Πεντέλης).

Τὰ ἵζηματα αὐτὰ εἶναι πολυφασικά. Περιέχουν θραύσματα διαφορετικοῦ μεγέθους ἀπὸ ὄφιολιθικό-κερατολιθικὸν καὶ ἄλλο ὑλικὸν ἀπὸ τὴ διάβρωση τῆς σχιστοκερατολιθικῆς διάπλασης.

Ἡ ἡλικία τῆς ἀπόθεσης τοῦ ἀθηναϊκοῦ σχιστόλιθου τοποθετεῖται ἐπομένως στὴ διάρκεια μεταξὺ τῆς ἀνοδικῆς κίνησης καὶ ἀρχῆς τῆς διάβρωσης τῆς σχιστοκερατολιθικῆς διάπλασης (πιθανῶς Κατώτερο Κρητιδικὸν) καὶ πρὶν τὴν ἵζηματογένεση τῶν ἀσβεστόλιθων τοῦ Ἀνωτέρου Κρητιδικοῦ, ποὺ καλύπτουν τὰ πολυφασικὰ αὐτὰ ἵζηματα στοὺς λόφους τοῦ Λεκανοπέδιου τῆς Ἀθήνας καὶ νοτιότερα.

Οἱ ἀσβεστόλιθοι αὐτοὶ τῶν λόφων ἀποτελοῦν ἀλλαγὴ φάσης τῆς ἵζηματογένεσης στὴ διάρκεια τοῦ Ἀνωτέρου Κρητιδικοῦ.



Σχ. 3. Σχηματικὴ τομὴ τοῦ λεκανοπέδιου τῆς Ἀθήνας καὶ Ν. Ἀττικῆς

1. Ἀσβεστολιθικὸν κάλυμμα: Ἀνώτερο Κρητιδικό
2. Πολυφασικὰ ἵζηματα:
(Κροκαλοπαγή-Ψαμμίτες-μάργες κ.λπ.): Παλαιότερα τοῦ Ἀνωτέρου Κρητιδικοῦ καὶ Ἀνώτερο Κρητιδικό.
3. Ἐπαφὴ ἀσυμφωνίας καὶ κροκαλοπαγὴ ἀπὸ ὄφιολιθικό-κερατολιθικό κ.λπ. ὑλικό.
4. Ὑπολειμματικοὶ σχηματισμοὶ ὄφιόλιθων-κερατόλιθων κ.λπ.: ίουρασικό

Μὲ βάση τὰ παραπάνω παρατηρεῖται ὅτι, ἐνῶ στὴ Β., ΒΔ. καὶ ΒΑ. Ἀττικὴ (Πάρνηθα-Αἰγάλεω-Μαραθώνα κ.λπ.) τὰ ιζήματα τοῦ Ἀνωτέρου Κρητιδικοῦ εἶναι ἀνθρακικὰ (ἐλάχιστα ὑπολείμματα κροκαλοπαγῶν τῆς σχιστοκερατολιθικῆς διάπλασης) καὶ μεγάλου πάχους, ἀντίθετα, στὴν Κεντρικὴ καὶ Νότιο Ἀττικὴ τὰ ιζήματα κατὰ τὴν παραπάνω περίοδο εἶναι χυρίως κλαστικὰ—φλυσχοειδή (ἀθηναϊκὸς σχιστόλιθος) προερχόμενα καὶ ἀπὸ τὴ διάβρωση τῆς σχιστοκερατολιθικῆς διάπλασης.

Νεότερα ιζήματα (ἀνω-κρητιδικὸς φλύσχης, Καμπάνιο-Μαιστρίχτιο καὶ μεταγενέστερα) συναντῶνται στὴ Δ. Ἀττικὴ (Αἰγάλεω) καὶ πιθανῶς στὴ ΒΑ. μεταμορφωμένη Ἀττικὴ (Μαραθώνα) σὲ κανονικὴ μετάβαση ἀπὸ τοὺς ἄνω κρητιδικοὺς ἀσβεστόλιθους (μάρμαρα).

Στὴ μορφολογικὴ λεκάνη μεταξὺ μὴ μεταμορφωμένων πετρώματων (Πάρνηθα) καὶ μεταμορφωμένων (Μαραθώνα) καὶ σὲ πολὺ ἔντονα διαβρωμένο ὑπόβαθρο (Παλαιοζώικό) κάθονται μὴ μεταμορφωμένα ἄνω μειοκανικά-πλειοκανικὰ ἡπειρωτικὰ ιζήματα μὲ Acer monspesulanum (σφένδαμνο), καὶ νεότερα.

Ἡ παραπάνω στρωματογραφικὴ ἔξελιξη μὲ ἐλάχιστες διακυμάνσεις στὸ πάχος, τὴ στρωματογραφία, τὴ μεταμόρφωση, τὴν πετρογραφία καὶ μὲ τὴν παρουσία ἢ μὴ τοῦ Λιθανθρωποφόρου, τοῦ Περμίου καὶ τοῦ Ιουρασικοῦ παρατηρεῖται καὶ στὶς περιοχὲς τῶν Κυκλαδῶν τῆς Πελοποννήσου, καθὼς καὶ στὴν ὑπόλοιπη Ἀνατολικὴ Ἐλλάδα.

Ἡ παρουσία ἢ μὴ τῶν παραπάνω σχηματισμῶν στὴν Ἀνατολικὴ Ἐλλάδα ὁφείλεται σὲ ἀνοδικές-καθοδικές κινήσεις, διαβρώσεις, καθὼς καὶ σὲ ἄλλα γεωλογικὰ φαινόμενα κατὰ τὴ διάρκεια τῶν βαρίσκιων καὶ τῶν ἀλπικῶν ὄρογενέσεων.

1.2. Μέσο- καὶ Μεταλπικὴ Τεκτονικὴ

Ἐκτὸς ἀπὸ τὶς βαρίσκιες καὶ παλαιοαλπικές ὄρογενετικές κινήσεις, οἱ ὅποιες ἀναφέρονται παραπάνω, οἱ μεσο- καὶ μεταλπικὲς τεκτονικὲς κινήσεις εἶναι πολὺ ἔντονες στὴν περιοχὴ τῆς μεταμορφωμένης Β. καὶ ΒΑ. Ἀττικῆς (Bodechtel et Papadeas 1968, Papadeas 1973).

1.2.α. Πτυχὲς

Οἱ παλαιότερες, ἀλπικῆς ἡλικίας πτυχὲς μὲ ἀξονα ΒΔ-ΝΑ διεύθυνσης (120° - 140°) καὶ κλίση τῆς ἀξονικῆς ἐπιφάνειας πρὸς ΒΑ. (Vergenz ΝΔ) παρατηροῦνται

περισσότερο ἔντονες στὶς ἀσβεστολιθικὲς ἐνστρώσεις (μάρμαρα) ποὺ βρίσκονται μέσα στοὺς πτυχωμένους σχιστόλιθους.

Ἡ πτύχωση αὐτὴ ἐπηρέασε καὶ μετατόπισε τὴ βαρίσκια καὶ παλαιοαλπικὴ τεκτονικὴ δομή.

Οἱ παραπάνω (ΒΔ-ΝΑ) πτυχὲς ποὺ εἶναι παράλληλες μὲ τὴ Διναρικὴ διεύθυνση εἶναι ἐπηρεασμένες καὶ μετατοπισμένες ἀπὸ νεότερες πτυχὲς μὲ ἄξονα ΒΑ-ΝΔ διεύθυνσης (30° - 55°).

Οἱ ΒΑ-ΝΔ πτυχές, ποὺ διακρίνονται περισσότερο στὰ ἀνώτερα ἀσβεστολιθικὰ κ.λπ. ιζήματα τοῦ Μεσοζωϊκοῦ, ἀποτελοῦν πολὺ μεγάλα ἀντίκλινα καὶ σύγκλινα. Στὴ διάρκεια αὐτῆς τῆς πτύχωσης σχηματίστηκε τὸ μεγάλο ἀντίκλινο (ΒΑ-ΝΔ διεύθυνσης) στὴν περιοχὴ ὅπου ὑπάρχει ἡ πλευρικὴ μετάβαση ἀπὸ τὰ μὴ μεταμορφωμένα πετρώματα τῆς Πάρνηθας στὰ μεταμορφωμένα τῆς Πεντέλης-Μαραθώνα (σχηματισμὸς Πεντελικοῦ). Μὲ τὴν ἵδια πτύχωση σχηματίστηκε ὁ Ὑμηττός, τὸ σύγκλινο τῆς Λεχάνης τῆς Ἀθήνας κ.λπ.

Τὸ γεγονός ὅτι οἱ ΒΑ-ΝΔ πτυχὲς ἔγιναν σχεδὸν κάθετα στὶς προηγούμενες ΒΔ-ΝΑ πτυχές αὐτὸ ἀποτέλεσε αἰτία νὰ δημιουργηθεῖ ἔνας ἔντονος κατακερματισμός, κυρίως στὰ μεσοζωϊκὰ ἀσβεστολιθικὰ πετρώματα.

Μετὰ ἀπὸ ἔντονη διάβρωση, ποὺ ἀκολούθησε τὴν πτύχωση αὐτῇ, σχηματίστηκε τὸ γεωλογικὸ παράθυρο Πάρνηθας-Μαραθώνα-Πεντέλης, πάνω στὸ ὅποιο κάθονται (ἄνω μειοκαινικά)-πλειοκαινικὰ ἡπειρωτικὰ ιζήματα.

Μία νεότερη πτύχωση μὲ Β-Ν διεύθυνση ἐπηρέασε καὶ μετατόπισε τὶς παλαιότερες βαρίσκιες (ΒΑ-ΝΔ) καὶ ἀλπικὲς (ΒΔ-ΝΑ καὶ ΒΑ-ΝΔ) πτυχές, καθὼς ἐπίσης καὶ τὰ (ἄνω μειοκαινικά)-πλειοκαινικὰ μὴ μεταμορφωμένα ιζήματα (Papadeas 1973).

1.2.β. Ρήγματα

Μὲ τὴ βοήθεια ἀεροφωτογραφιῶν καὶ ἐπιτόπιων ἐρευνῶν ἔντοπίστηκαν πολλὰ ρήγματα ποὺ ἔχουν σειρὰ ἀκολουθίας ΒΑ-ΝΔ, Α-Δ καὶ ΒΔ-ΝΑ διεύθυνσης.

Τὰ παλαιότερα ΒΑ-ΝΔ ἀλπικῆς ἡλικίας παρουσιάζονται μὲ ἐκτατικὲς ρωγμὲς (Dehnungs-Fugen) (ac ρωγμὲς τῶν ΒΑ-ΝΔ πτυχῶν), μερικὲς ἀπὸ τὶς ὅποιες πληρώθηκαν μὲ μεταλλοφορία λειμωνίτη (Γραμματικό, μάρμαρο Μ₂). Τὰ ρήγματα αὐτὰ ἐπηρεάζονται καὶ μετατοπίζονται ἀπὸ νεότερα, κανονικὰ καὶ ὄριζόντια ρήγματα, Α-Δ (70° - 110°) διεύθυνσης. Τὰ Α-Δ ρήγματα μετατοπίζουν καὶ τὴν τελευ-

ταία B-N πτύχωση και συνεπώς είναι νεότερά της. Μεταγενέστερα, ΒΔ-ΝΑ (130°-140°) κανονικά και όριζόντια ρήγματα έπηρεάζουν και μετατοπίζουν őλες τις παραπάνω τεκτονικές δομές. Τὰ ρήγματα αύτὰ είναι τὰ νεότερα στὴν Ἀττικὴ και πληροῦνται μὲν ἐρυθρογή και κορήματα.

Ἡ σειρὰ ἀκολουθίας τῶν ρηγμάτων αὐτῶν παρουσιάζει δεξιόστροφη περιστροφή.

2. ΚΟΙΤΑΣΜΑΤΟΛΟΓΙΑ

2.1. Γενικὰ

Ὅπως είναι γνωστό, τὰ μικτὰ θειούχα μεταλλεύματα είναι διασκορπισμένα στὴν Ἀττικὴ, Εὔβοια, Κυκλαδες, Πελοπόννησο, καθὼς και στὴ Βόρειο Ἐλλάδα.

Μὲ βάση τὰ στοιχεῖα ποὺ παρουσιάζονται στὴν ἐργασία αὐτὴ ἐπιχειρεῖται ν' ἀποδειχτεῖ ὅτι στὸ σύνολο σχεδὸν τῶν ἐμφανίσεων μικτῶν θειούχων, καθὼς και ἄλλων ὀρυκτῶν Ag, Au, Cu, Ni, Cd, B, Mn, As, Sb, Co, Mo, V στὴν Ἀνατολικὴ Ἐλλάδα, ἡ μεταλλοφορία προέρχεται ἀπὸ τὴν ὑποθαλάσσια ἥφαιστειότητα ποὺ είναι παλαιότερη τῆς μεσολιθικοφόρου ἐποχῆς.

Οἱ ἐμφανίσεις αὐτὲς τῶν μικτῶν θειούχων και τῶν ἄλλων μεταλλευμάτων στὴν Ἐλλάδα παρουσιάζουν τυπικές ὁμοιότητες μεταξύ τους.

Ἐνα σοβαρὸ ἐμπόδιο στὴν ἐρμηνεία τῆς γένεσης και τῆς στρωματογραφικῆς τοποθέτησης τῶν μικτῶν θειούχων και τῶν ἄλλων μεταλλευμάτων ἦταν ἡ μεταμόρφωση τῶν πετρωμάτων (συμπεριλαμβανόμενου και τοῦ ἥφαιστειακοῦ πετρώματος μετατόφφου, ποὺ φιλοξενεῖ κυρίως στὸ ἀνώτερα στρώματά του τὰ μεταλλεύματα), ἡ μετακίνηση και ἀνακρυστάλλωση τῶν μεταλλευμάτων ἀπὸ τὴ μεταμόρφωση και οἱ ἀλπικὲς γρανιτικὲς διεισδύσεις στὸ χῶρο τῆς Ἀνατολικῆς Ἐλλάδας.

Οἱ περισσότεροι ἐρευνητὲς ἀναφέρουν πνευματολιτικὴ και ὑδροθερμικὴ προέλευση τῶν μεταλλευμάτων αὐτῶν συνδεδεμένη μὲ ἀλπικῆς ἡλικίας πλούτωνίτες (Κτενὰς 1916 Νικολάου 1960 και πολλοὶ ἄλλοι ἐρευνητές, οἱ ὅποιοι ἀναφέρονται στὸ ἐπεξηγηματικὸ τεῦχος τοῦ μεταλλογενετικοῦ χάρτη ΙΓΕΥ 1965, σελ. 231).

Ἡ ἀνεύρεση τοῦ ὑποθαλάσσιου ἥφαιστειακοῦ πετρώματος (μετατόφφου) στὶς περιοχὲς Μαραθώνα-Πεντέλης (σελ. 432) και ἡ συνδεδεμένη μὲ αὐτὸ δξειδωμένη και μὴ μεταλλοφορία (σελ. 434), καθὼς και ἡ ὑπερκείμενη ἀσυμφωνία τοῦ Μέσο Λιθανθρακοφόρου, (σελ. 434) συνέβαλαν στὴν ἐρμηνεία τῆς γένεσης και τῆς ἡλικίας τῆς μεταλλοφορίας τῶν μικτῶν θειούχων και τῶν ἄλλων μεταλλευμάτων στὴ μεταμόρφωμένη Ἀττική.

Τὰ ἀπολιθώματα και ἡ στρωματογραφική-τεκτονικὴ συσχέτιση τῶν μὴ μετα-

μορφωμένων πετρωμάτων τῆς Πάρνηθας μὲ τὰ μεταμορφωμένα τῶν γειτονικῶν περιοχῶν Πεντέλης-Μαραθώνα διευκόλυναν τὴν ἀνάλυση τῆς στρωματογραφίας καὶ τῆς ἡλικίας κυρίων τῶν παλαιοζωϊκῶν ιζημάτων.

Στὴ συνέχεια ἡταν εὔκολη ἡ συσχέτιση μὲ τὰ μεταμορφωμένα πετρώματα καὶ τὴ μεταλλοφορία τῆς Κεντρικῆς καὶ Νότιας Ἀττικῆς ('Υμηττὸς-Λαύριο), καθὼς καὶ τῶν περιοχῶν Εύβοιας, Κυκλαδῶν, Πελοποννήσου καὶ Βορείου Ελλάδος.

'Η ιζηματογενὴς προέλευση τῶν μεταλλευμάτων αὐτῶν τόσο στὴν Ἀττική, ὅσο καὶ στὴν ὑπόλοιπη Ἀνατολικὴ Ἑλλάδα καὶ ἡ μεταξύ τους σχέση, διατυπώθηκαν σὲ παλαιότερες μελέτες μου (Παπαδέας 1967 ἕως 1986).

'Ιζηματογενὴς προέλευση τῶν μεταλλευμάτων Λαυρίου ἀναφέρεται καὶ ἀπὸ τὸν Leleu (1966, 1969), Leleu-Morikis-Picot (1973). Οἱ παραπάνω ἐρευνητὲς δὲν μπόρεσαν ὅμως νὰ δώσουν ἀκριβὴ στοιχεῖα γιὰ τὴ γένεση, τὴν τεκτονικὴ καὶ τὴν ἡλικία τῆς μεταλλοφορίας στὴν παραπάνω περιοχὴν.

Παρακάτω γίνεται μιὰ προσπάθεια ἀνάλυσης τῶν διεργασιῶν τῆς γένεσης τῶν μικτῶν θειούχων καὶ ἄλλων μεταλλευμάτων, ποὺ φυσικὰ δὲν εἶναι δυνατὸν νὰ τὶς παρακολουθήσουμε ὅλες. Πιστεύεται ὅμως ὅτι ἡ παρακάτω περιγραφὴ θὰ βοηθήσει στὴν ἔρμηνεία γένεσης τῶν περισσότερων ἐμφανίσεων, καθὼς ἐπίσης καὶ στὴν ἀναζήτηση νέων κοιτασμάτων.

2.2. Γένεση καὶ διαδικασία ἀπόθεσης τῶν μικτῶν θειούχων καὶ ἄλλων μεταλλευμάτων

Κατὰ τὴ διάρκεια τῆς προ-μεσολιθικού περιόδου (Μέσο Δεβόνιο;) ἐκδηλώθηκε στὴν Ἑλλάδα μιὰ ἀσβεσταλκαλικὴ ἡφαιστειότητα. Βιβλιογραφικὰ ἀναφέρονται οἱ ἀκόλουθες περιοχές: Πάρνηθα-'Υδρα-'Αργολίς (Renz 1909), Πάρνηθα (Τρικκαλινὸς 1958, Ρουμπάνης 1962), Λοκρίς-Εύβοια-Ἀττικὴ-Βοιωτία-Πελοπόννησος-Λεκάνη τοῦ Κράθιδος-'Υδρα-Ρόδος-Χίος-Σκόπελος ('Αρώνης 1972 κ.ἄ.).

Προσθέτω ἐπίσης τὶς ἔξης περιοχές: Μεταμορφωμένη Ἀττικὴ (Μαραθώνας-Πεντέλη-Λαύριο)-Εύβοια-Κυκλαδες-Ἀνατολικὴ Πελοπόννησος-Νομὸς Μαγνησίας (Βόλος)-Μαυροβούνι 'Αγαρ-'Ανατολικὴ Μακεδονία καὶ Ροδόπη.

'Η ἡφαιστειότητα αὐτὴ ἐντοπίστηκε κυρίως σὲ περιοχές, ὅπου ἐμφανίζονται παλαιότερα τῆς μεσολιθικού πορείας ἡλικίας ιζήματα.

'Αντίστοιχα ἡφαιστειακὰ πετρώματα συνδέονται παντοῦ στ' ἀνώτερα στρώ-

ματά τους με έμφανίσεις μικτῶν θειούχων καὶ πολλῶν ἄλλων μεταλλευμάτων. Στὰ ἄλλα μεταλλεύματα συμπεριλαμβάνονται τὰ βωξιτικὰ κοιτάσματα, τῶν ὅποιων ἡ γένεση στὴν περιοχὴ τῆς Πάρνηθας ὀφείλεται κατὰ Ἀρώνη (1972) στὴ λατεριτικὴ ἔξαλλοιώση τῶν παραπάνω ἡφαιστειακῶν πετρωμάτων, ὅπως ἐπιβεβαιώθηκε πρόσφατα καὶ ἀπὸ τὸ γράφοντα σὲ πολλές ἐμφανίσεις βωξιτῶν στὸν ἑλλαδικὸ χῶρο, καθὼς ἐπίσης καὶ τὰ μεταλλεύματα Au, Ag, Mn, Ni, Cu, Cd, B, As, Sb, Co, Mo, V, κ.ἄ., τὰ ὅποια εἶναι διασκορπισμένα στὴν Ἀνατολικὴ Ἐλλάδα, (βλ. μεταλλογενετικὸ χάρτη 'Ελλάδος ΙΓΕΥ 1965).

'Απὸ τὰ στοιχεῖα ποὺ συγκεντρώθηκαν συμπεραίνεται ὅτι πρὸς τὸ τέλος τῆς ἡφαιστειακῆς δραστηριότητας σχηματίστηκαν ὑδροθερμικὰ διαλύματα μολύβδου, ψευδαργύρου, σιδήρου, χρυσοῦ, ἀργύρου καὶ πολλῶν ἄλλων ὄρυκτῶν, τὰ ὅποια λόγω πτώσης τῆς θερμοκρασίας κατὰ τὴν ἔξοδο (σὲ θαλάσσιο περιβάλλον) καὶ ἄλλων παραγόντων (pH, eH κ.λπ.) ἀποτέληκαν στὸν πυθμένα σχηματίζοντας ὑποθαλάσσια (exhalativ) ἀτμιδογενὴ ἡφαιστειοὶ ζηματογενὴ κοιτάσματα.

Πρὸς τὸ τέλος τοῦ Δεβυνίου, ὁ ἑλλαδικὸς χῶρος ἐπηρεάζεται ἀπὸ τὴν βαρίσκια ὀρογένεση μὲ ἀποτέλεσμα τὴν ἀνάδυσή του.

Στὴν περιοχὴ τῆς Πάρνηθας, ἡ ὅποια δὲν ἐπηρεάστηκε πολὺ ἀπὸ τὴν ἀλπικὴ μεταμόρφωση, τὰ ἐν λόγῳ ἡφαιστειακὰ πετρώματα, καθὼς καὶ οἱ ὑποκείμενοι σχηματισμοὶ παρουσιάζουν ὑψηλότερο βαθμὸ μεταμόρφωσης (πρασινοσχιστολιθικὴ φάση) σὲ σχέση μὲ τὰ ὑπερκείμενα μεσολιθανθρακοφόρα κ.λπ. παλαιοζωϊκὰ καὶ μεσοζωϊκὰ ἵζματα. Τὸ ἴδιο φαινόμενο παρατηρεῖται καὶ σὲ ἄλλες περιοχές.

'Ἐπίσης, εἶναι δύσκολο νὰ διαπιστωθεῖ, ἂν ἡ ἡφαιστειακὴ δραστηριότητα συνεχίστηκε καὶ μετὰ τὴν ἀνάδυση τῆς περιοχῆς.

Στὴ διάρκεια τῆς ἀνοδικῆς κίνησης καὶ τῆς σταδιακῆς ὑποχώρησης τῆς θάλασσας εἴχαμε μιὰ ἔντονη καὶ μακροχρόνια κυκλοφορία νεροῦ πάνω στὰ ἡφαιστειακὰ πετρώματα.

Μὲ τὴν ἐπίδραση τοῦ νεροῦ, τόσο στὴ διάρκεια τῆς ὑποχώρησης τῆς θάλασσας, ὅσο καὶ κατὰ τὶς μεταγενέστερες βροχοπτώσεις, τὰ ἡφαιστειακὰ πετρώματα μαζὶ μὲ τὰ μεταλλεύματα, καθὼς καὶ τὸ ὑποκείμενο μάρμαρο (κατώτερο μάρμαρο Λαυρίου, σελ. 431) δέχτηκαν μιὰ ἔντονη καὶ μεγάλης διάρκειας διάβρωση, ἡ ὅποια ἀρχισε στὴ διάρκεια τῆς ὀρογένεσης ('Ανώτερο Δεβόνιο;) καὶ συνεχίστηκε μέχρι τὸ Μέσο Λιθανθρακοφόρο καὶ σὲ ὄρισμένες περιοχὲς καὶ ἀργότερα (Λαύριο, Εύβοια, Ροδόπη, κ.ἄ.).

'Η νέα μορφολογία μὲ ὑβώματα, λεκάνες καὶ κοιλάδες, δηλ. οἱ ὑφομετρικὲς

διαφορές πού δημιουργησε ή βαρίσκια όρογένεση σὲ συνδυασμὸ μὲ τὸ κλίμα, τὴν ὑδρογραφία καὶ τὴ γεωλογική-τεκτονικὴ δομή, ἔπαιξε ἐνα σημαντικὸ ρόλο στὴ διαδικασία τῆς διάβρωσης, ἐπανατοποθέτησης, συγκέντρωσης ἢ διασκόρπισης τοῦ μεταλλευτικοῦ καὶ λοιποῦ ὄλικοῦ.

Στὴν Ἀττικοκυλαδικὴ περιοχή, δημιουργήθηκαν πτυχὲς ΒΑ-ΝΔ διεύθυνσης, μὲ περίπου κάθετες καὶ παράλληλες πρὸς τὴν πτύχωσή τους κατακλάσεις. Τὶς κατακλάσεις αὐτὲς μποροῦμε νὰ τὶς παρατηρήσουμε στὸ κατώτερο μάρμαρο Πεντέλης-Λαυρίου (griffons-croiseurs).

Εἶναι ἀποδεδειγμένο ὅτι πολλὲς περιοχές, ὅπως κοντὰ στὸ Λαύριο, τμῆματα τῆς Εὔβοιας-Κυκλαδῶν-Ροδόπης καὶ ἄλλοῦ, παρέμειναν χέρσες καὶ μετὰ τὸ Μέσο Λιθανθρακοφόρο, Πέρμιο-Τριαδικὸ κ.λπ. Αὐτὲς οἱ περιοχὲς ἀποτέλεσαν ὑβώματα καὶ τροφοδοτοῦσαν στὴ διάρκεια τῶν παραπάνω γεωλογικῶν ἐποχῶν μὲ κλαστικὸ μεταλλευτικὸ καὶ ἄλλο ὄλικὸ τὶς γύρω χαμηλότερες λεκάνες.

Ἄπὸ τὰ μεταλλεύματα, προσχωματικὰ ὄλικὰ καὶ διάφορα ἄλλα ιζήματα ποὺ σχηματίστηκαν (χερσαῖα, ποτάμια, λιμναῖα) διαπιστώνεται ὅτι ἔλαβε χώρα μηχανικὴ καὶ χημικὴ διάβρωση. Οἱ δύο αὐτοὶ παράγοντες προκάλεσαν χαλάρωση τῶν στερεῶν πετρωμάτων. Ἡ μηχανικὴ διάβρωση δημιουργησε προσχωματικὰ κοιτάσματα, κροκαλοπαγὴ καὶ ἄλλες κλαστικὲς ἀποθέσεις μὲ κοκκομετρικὴ στρώση (Ἀττική, Εὔβοια, Ροδόπη). Ἡ χημικὴ διάβρωση μὲ τὴ βοήθεια τῶν ὑδάτινων διαλυμάτων (ὑψηλοῦ βαθμοῦ ὁξύτητας, διαλυμένα ἀλατα, ὁξεῖο ἀνθρακικὸ HCO_3 , ὑδρόθειο H_2S), καθὼς καὶ τῶν ἀερίων (O_2 , N_2 , CO_2 κ.ἄ.), μπόρεσε νὰ διαλύσει εύκολα τὸ πέτρωμα καὶ τὰ μεταλλικὰ ὄρυκτα, νὰ τὰ διαχωρίσει καὶ νὰ σχηματίσει κάτω ἀπὸ ὄρισμένες συνθῆκες πλούσια ιζηματογενὴ κοιτάσματα. Στὴν περίπτωση αὐτὴ ἐπῆλθε μιὰ ἀνακρυστάλλωση καὶ δευτερογενῆς μεταλλογένεση.

Τὸ ὁξυγόνο δημιουργεῖ καὶ εύνοϊκὲς προϋποθέσεις γιὰ τὸ σχηματισμὸ ἐπιγενετικῶν κοιτασμάτων, «red-bed» κ.ἄ.

Κατὰ τὶς παραπάνω διεργασίες τὰ δυσδιάλυτα ὄρυκτα (χρυσὸς) παρέμειναν στὸν τόπο ἢ κοντὰ στὸν τόπο τῆς γένεσης (π.χ. Ροδόπη). Οἱ διεργασίες αὐτὲς ἔγιναν εἴτε ξεχωριστὰ ἢ μιὰ ἀπὸ τὴν ἄλλη, εἴτε παράλληλα.

Ἄπὸ τὰ ιζήματα καὶ ἀπὸ τὶς μορφὲς διάβρωσης στὴ μεταοργενετικὴ ἐποχὴ μέχρι τὸ Μέσο Λιθανθρακοφόρο (Βεστφάλιο) καὶ ἀκόμα ἀργότερα μποροῦμε νὰ δοῦμε ὅτι τὸ κλίμα (συνεχεῖς διακυμάνσεις θερμοκρασίας) ἔπαιξε σημαντικὸ ρόλο στὴ συγκέντρωση τῶν βαρέων μετάλλων Pb , Zn , Cu , Ag , Au κ.λπ. Στὴ διάρκεια τοῦ Δεβονίου τὸ κλίμα ἤταν ἔηρο (Brinkmann 1959), ἐνῶ στὸ Λιθανθρακοφόρο γίνεται

ύγρο διαβρωμένης βροχοπτώσεις.

Στήν 'Ανατολική 'Ελλάδα τὰ ἡπειρωτικὰ ὀξειδωμένα (κόκκινα, καστανέρυθρα «red-bed») μεταλλεύματα, καθὼς καὶ τὰ χροκαλοπαγή εἶναι πολὺ διαδεδομένα στὶς διαβρωμένες ἐπιφάνειες τοῦ προ-μεσολιθικοφόρου μετατόφφου.

Στὸ Μέσο Λιθινθρακοφόρο πολλὲς περιοχὲς τῆς 'Ελλάδος ἔπηρεάζονται ἀπὸ καθοδικές κινήσεις μὲ συνέπεια στὸ Βεστφάλιο τὴν ἐπίκλυση τῆς θάλασσας.

Τὰ ιζήματα τῆς περιόδου αὐτῆς στήν 'Αττικοκυκλαδικὴ περιοχὴ εἶναι κυρίως ἀνθρακικά. Στήν 'Αττικὴ ἐπικρατεῖ ἔνας ὁρίζοντας λευκοῦ μαρμάρου μὲ διαφορετικὸ πάχος ἀπὸ περιοχὴ σὲ περιοχὴ (5-150 m). Στὰ κατώτερα στρώματά του σὲ ὄρισμένες περιοχές, ὅπου ὑπάρχει ὑποκείμενη προσχωματικὴ ἢ ἄλλῃ μεταλλοφορία, παρατηρεῖται μιὰ κοκκώδης καὶ διάσπαρτη ὀξειδωμένη ζώνη μὲ μεταλλικὰ ὄρυκτά.

'Η περίπτωση αὐτὴ φανερώνει ἀναστάτωση τοῦ πυθμένα τῆς μέσο λιθινθρακοφόρου θάλασσας.

'Η ἐπίκλυση τῆς θάλασσας πρέπει νὰ ἔπαιξε δυσμενὴ ρόλο στὰ ιζήματογενὴ κοιτάσματα ποὺ εἶχαν ἥδη σχηματιστεῖ καὶ ἵσως καὶ νὰ τὰ διασκόρπισε.

'Αξιοσημείωτο εἶναι τὸ γεγονός ὅτι οἱ ἐμφανίσεις τῶν μικτῶν θειούχων, καθὼς καὶ μαγγανίου, βωξίτη καὶ ἄλλων μεταλλευμάτων ὑπάρχουν διασκορπισμένες σὲ ὅλη τὴν 'Ανατολικὴ 'Ελλάδα σὲ διάφορους στρωματογραφικούς ὁρίζοντες καὶ σὲ μικρὲς ἀποστάσεις μεταξύ τους (βλ. μεταλλογενετικὸ χάρτη 'Ελλάδος ΙΓΕΥ).

'Η γένεση τῶν κοιτασμάτων τοῦ μαγγανίου στὸν ἑλλαδικὸ χώρο, ὅπως ἀναφέρεται παραπάνω, ὀφείλεται στὴν ἕδια ὑποθαλάσσια ἡφαιστειότητα τῆς προ-μεσολιθινθρακοφόρου περιόδου. Τὰ κοιτάσματα αὐτὰ δημιουργήθηκαν παράλληλα μὲ τὰ μικτὰ θειούχα. 'Η μεταγενέστερη βαρίσκια ὀρογένεση καὶ διάβρωση τῶν πρωτογενῶν ἡφαιστειοϊζήματογενῶν κοιτασμάτων, ὁ φυσικοχημικὸς διαχωρισμὸς τῶν ὄρυκτῶν ποὺ ἀκολούθησε καὶ στὶς ἐπόμενες ὀρογενέσεις καὶ ἀποσαθρώσεις δημιούργησε κατὰ τὶς περιόδους μὲ εὔνοικὸ κλίμα (θερμὸ τροπικὸ ἔως ὑποτροπικὸ) λατεριτίωση μὲ ἀποτέλεσμα τὶς συγκεντρώσεις τοῦ μαγγανίου σὲ διάφορους στρωματογραφικούς ὁρίζοντες.

Οἱ ἐμφανίσεις τοῦ μαγγανίου ἔχουν παραγένεση ὄρυκτῶν Fe, Pb, Zn κ.ἄ.

— 'Ο βωξίτης ἐμφανίζεται ἐπίσης σὲ περιόδους ὀρογένεσης καὶ χέρσευσης τοῦ ἑλλαδικοῦ χώρου, ἀποδεικνύοντας διάβρωση, λατεριτίωση, μεταφορὰ ὑλικοῦ σὲ μορφὴ διαλυμάτων καὶ ἀπόθεση.

Τὰ ὑλικὰ τῶν βωξιτικῶν κοιτασμάτων προέρχονται:

1. ἀπὸ τὴν λατεριτικὴν ἐξαλλοίωσην τῶν παραπάνω ἡφαιστειακῶν πετρωμάτων μὲν περιεκτικότητα σὲ Al_2O_3 12-17% καὶ
2. δευτερογενῶς ἀπὸ διάβρωση καὶ λατεριτικὴν ἐξαλλοίωσην ἀσβεστολιθικῶν πετρωμάτων. Οἱ ἀσβεστόλιθοι αὐτοὶ εἰχαν ἐμπλουτιστεῖ στὴ διάρκεια τῆς Ἰζηματογένεσής τους μὲ δρυκτά, τὰ διόποια προέρχονταν ἀπὸ προγενέστερη διάβρωση τοῦ παραπάνω ἡφαιστειακοῦ πετρώματος.

Οἱ περίοδοι στὶς δύοις διαπιστώθηκαν βωξιτικὰ κοιτάσματα ἀπὸ παλαιότερους ἔρευνητές σὲ διάφορες περιοχές στὴν Ἑλλάδα εἶναι οἱ ἐξῆς:

Μεταξὺ Δεβονίου καὶ Λιθανθρακοφόρου: βαρίσκια πτύχωση (πχ. Ζῶνες Ἀξιοῦ, Πελαγωνικὴ)

Μεταξὺ Τριαδικοῦ καὶ Ἰουρασικοῦ: παλαιοκιμμερικὴ πτύχωση (πχ. Ζῶνες Παρνασσοῦ-Γκιώνας καὶ Ἀξιοῦ)

Μεταξὺ Ἀνώτερου Ἰουρασικοῦ καὶ Κατώτερου Κρητιδικοῦ: νεοκιμμερικὴ πτύχωση (πχ. Ζώνη Παρνασσοῦ-Γκιώνας)

Μεταξὺ Κατώτερου Κρητιδικοῦ καὶ Ἀνώτερου Κρητιδικοῦ: αὐστριακὴ πτύχωση (πχ. Ζῶνες Πελαγωνικὴ-Τυποπελαγωνικὴ, Παρνασσοῦ-Γκιώνας)

Ἐπίσης συναντᾶται στὸ Ἡώκαινο: (πχ. Ἰόνιος Ζώνη)

καθὼς ἐπίσης καὶ στὸ Διλούβιο: (πχ. Τυποπελαγωνικὴ Ζώνη).

Στὴ διάρκεια τῶν παραπάνω πτυχώσεων (δημιουργία χέρσου) σὲ ἄλλες τοποθεσίες συναντᾶμε ἀποθέσεις μικτῶν θειούχων, μαγγανίου, νικελίου, σιδήρου κ.ἄ. δρυκτῶν.

Ἐπιγενετικὰ κοιτάσματα, κυρίως μικτῶν θειούχων, ἀπαντοῦν καὶ στὴν περίοδο μεταξὺ Περμίου καὶ Τριαδικοῦ κατὰ τὴν νεοβαρίσκια πτύχωση, στὴ διάρκεια τῆς δύοιας ἔλαβαν χώρα ἀνοδικὲς κινήσεις καὶ διάβρωση τοῦ ὑπόβαθρου.

Μὲ βάση τὰ ὅσα ἀναφέρθηκαν μέχρι τώρα, φαίνεται ὅτι στὴ συγκέντρωση τῶν μικτῶν θειούχων καὶ τῶν ἄλλων μεταλλευμάτων ἔπαιξαν σημαντικὸ ρόλο οἱ φυσικές, χημικές, βιοχημικές καὶ κλιματολογικές συνθῆκες ποὺ ἐπικράτησαν στὸ Παλαιοζωϊκό καὶ Μεσοζωϊκό, σὲ συνδυασμὸ μὲ τὴ γεωλογικὴ — τεκτονικὴ δομή, τὴ μορφολογία καὶ τὴν ὑδρογραφία ποὺ χαρακτήριζαν τὴν περιοχή.

Μὲ τὶς παραπάνω διαδικασίες, σχηματίστηκαν κατὰ περιόδους ἡπειρωτικὲς καὶ θαλάσσιες συγκεντρώσεις μεταλλευμάτων.

Στὴ διάρκεια τῆς ἀλπικῆς μεταμόρφωσης, τὰ μεταλλεύματα μετακινήθηκαν, ἀνακρυσταλλώθηκαν καὶ ἔχασαν ἐν μέρει τὴν Ἰζηματογένη τους δομή.

Κλασσικὰ παραδείγματα λειτουργίας τοῦ παραπάνω μηχανισμοῦ μεταλλογέ-

νεσης έχουμε σε δύο τις έμφανίσεις των μικτών θειούχων και των άλλων μεταλλευμάτων τόσο στήν 'Αττικοκυκλαδική περιοχή, όσο και στή Βόρειο 'Ελλάδα.

'Αττική

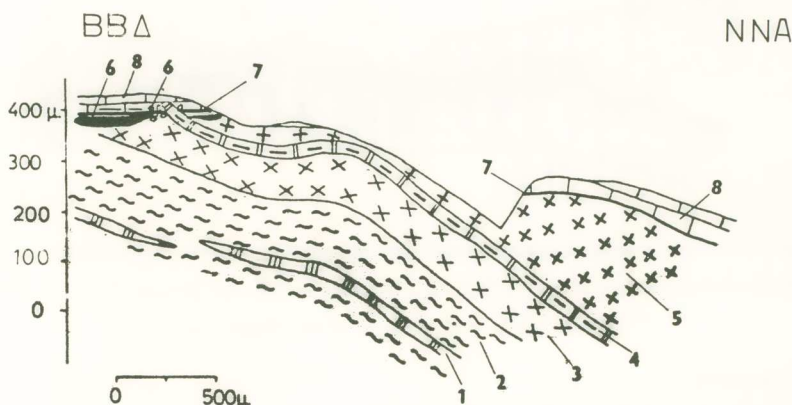
Α) Μαραθώνας (Μπίκιζα-Καλέντζι)

Στὸ Μαραθώνα (ΒΑ. 'Αττική), τὸ μεγάλο ἀντίκλινο, ΒΑ-ΝΔ διεύθυνσης, ποὺ σχημάτισε ὁ μετατόφρος κατὰ τὴ βαρίσκια ὀρογένεση, ἔχει ὑποστεῖ μιὰ ἴσχυρὴ διάβρωση παλαιότερη τοῦ Μέσου Λιθανθρακοφόρου. Τὸ πάχος του στήν ΝΑ. πλευρὰ τοῦ ἀντίκλινου κυμαίνεται περὶ τὰ 400 m καὶ πλέον, ἐνῷ στήν κορυφῇ του εἶναι μόνο 20 m.

Στὶς διαβρωμένες ἐπιφάνειες τοῦ μετατόφρου στήν Μπίκιζα παρατηροῦνται ἐνστρώσεις ἀπὸ ὅξειδωμένα (έρυθρά-καστανά) «red bed» καὶ μὴ ὅξειδωμένα μεταλλεύματα μολύβδου, ψευδαργύρου, σιδήρου καὶ λοιπῶν ὄρυκτων (Σχ. 4).

Στὶς Τρύπες (Καλέντζι), ὅπου ἔγινε παλαιότερα ἐκμετάλλευση τοῦ κοιτάσματος, ἀναφέρεται καὶ ἀργυροῦχος γαληνίτης.

'Ελάχιστη περιεκτικότητα ψευδαργύρου παρατηρεῖται ἐπίσης στὰ κατώτερα στρώματα τοῦ μὲ ἀσυμφωνίᾳ ὑπερκείμενου μαρμάρου τοῦ Μέσου Λιθανθρακοφόρου.



Σχ. 4. Τομὴ τῆς ἐμφάνισης μικτῶν θειούχων στή Μπίκιζα Μαραθώνος

8. Μάρμαρο Μέσου Λιθανθρακοφόρου (M2), 7. Ἀσυμφωνία, 6. Ὁξειδωμένα καὶ μὴ μεταλλεύματα Pb, Zn, Ag, Fe κ.ἄ. καὶ κροκαλοπαγή, 5. Δακίτης καὶ χαλαζιακός λατιανδεσίτης, 4. Ἐνστρωση μαρμάρου, 3. Ρυδακίτης, 2. Μαρμαρυγιακός-ἀσβεστιτικός σχιστόλιθος, 1. Ἐνστρώσεις μαρμάρων.

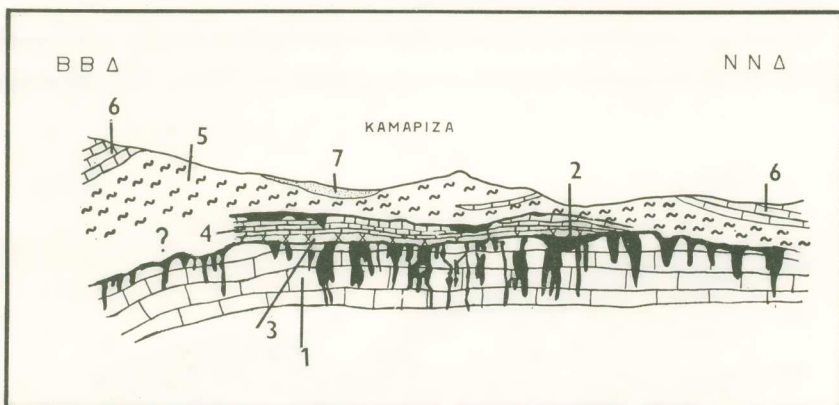
Β) Λαύριο

Τὰ μεταμορφωμένα ιζήματα τοῦ Λαυρίου ἀποτελοῦν πλευρικὴ μετάβαση τῶν πετρωμάτων τῆς Βορείου καὶ Κεντρικῆς Ἀττικῆς. Παρατηρεῖται καὶ ἐδῶ ἡ ἔδια στρωματογραφικὴ δομὴ ποὺ ἐμφανίζεται στὸ Μαραθώνα-Πεντέλη-Λεκανοπέδιο Ἀθηνῶν καὶ Ὑμηττό.

Ο προ-μεσολιθικοφόρος μετατόφφος (ρυοδακίτης-δακίτης-χαλαζιακὸς λατιανδεσίτης) ἔχει διαβρωθεῖ ἐδῶ σχεδὸν ἐντελῶς. Ή διάβρωση σὲ ὄρισμένες περιοχὲς (Καμάριζα) ἔφθασε μέχρι τὸ κατώτερο μάρμαρο Λαυρίου (Κ1), ὅπου δημιουργήθηκαν καρστικὰ ἔγκοιλα στὶς κατακλάσεις (griffons καὶ croiseurs), τὰ ὅποια γέμισαν μὲ δέξειδωμένα καὶ μὴ δέξειδωμένα μεταλλεύματα (Σχ. 5).

Η προέλευση τῶν καρστικῶν αὐτῶν μεταλλευμάτων ὁφείλεται στὴ μεταφορὰ μεταλλικῶν διαλυμάτων ἀπὸ τὰ ἐπιφανειακὰ νερά, καθὼς καὶ στὴ μηχανικὴ μεταφορὰ προσχωματικῶν μεταλλικῶν ὄρυκτῶν ἀπὸ διάβρωση τοῦ μεταλλοφόρου μετατόφφου γειτονικῶν περιοχῶν προ-μεσολιθικοφόρου περιόδου.

Οπως φαίνεται στὸ Σχ. 5, ὁ μετατόφφος, τὸ καρστικὸ κοίτασμα, καθὼς καὶ τὸ



Σχ. 5. Τομὴ τῶν κοιτασμάτων μικτῶν θειούχων Λαυρίου (κατὰ τὴ Γαλλικὴ Ἐταιρία τῶν Μεταλλείων Λαυρίου καὶ μὲ προσωπικὲς διορθώσεις).

7. Τεταρτογενὴ
6. Ἀνώτερο μάρμαρο Καμάριζας (Κ3): Τριαδικό
5. Σχιστόλιθος Καμάριζας ἢ Καισαριανῆς (Κ2): Κατώτερο Τριαδικό
4. Ἐνδιάμεσα μάρμαρα (Subordonnés): Μέσο Λιθικοφόρο
3. Ὑπολείμματα μετατόφφου (ρυοδακίτης-δακίτης-χαλαζιακὸς λατιανδεσίτης)
2. Μεταλλεύματα σὲ καρστικὰ ἔγκοιλα
1. Κατώτερο μάρμαρο Λαυρίου (Κ1): Δεβόνιο (;

κατώτερο μάρμαρο Λαυρίου, καλύπτονται ἀπό ἕνα στρῶμα μαρμάρου μικροῦ πάχους (ἐνδιάμεσα μάρμαρα-Subordonnés), τὸ ὅποιο κάθεται μὲ ἀσυμφωνίᾳ πάνω στοὺς ὑποκείμενους σχηματισμούς.

Τὰ ἐνδιάμεσα μάρμαρα ἀντιπροσωπεύουν τὸ μάρμαρο (M2) τοῦ Μέσο Λιθανθρακοφόρου τοῦ Μαραθώνα-Ανατολικῆς Πεντέλης-Τυμπτοῦ, ποὺ ἔχει διαφορετικὸ πάχος ἀπὸ περιοχὴ σὲ περιοχὴ λόγω τῆς προγενέστερης μορφολογίας ποὺ δημιούργησε ἡ βαρίσκια ὁρογένεση.

Μέσα σ' αὐτὰ τὰ ἐνδιάμεσα μάρμαρα παρατηρεῖται μιὰ συγγενετικὴ ρυθμικὴ ἵζηματογένεση μολύβδου, ψευδαργύρου καὶ ἄλλων ὀρυκτῶν, καθὼς καὶ ἀσβεστιτικοῦ ὑλικοῦ, ἡ ὅποια ὀφείλεται καὶ πάλι στὴν ἀποσάθρωση τοῦ μετατόφφου γειτονικῶν ὑβωμάτων ποὺ χέρσευαν (Σχ. 6) καὶ στὴ μεταφορὰ τῶν παραπάνω ὑλικῶν μὲ μορφὴ μεταλλικῶν διαλυμάτων σὲ θαλάσσιο περιβάλλον.

Στὴν ὁροφὴ τοῦ ἔδιου μαρμάρου (M2) (Μέσο Λιθανθρακοφόρο) παρατηρεῖται ἐπίσης μιὰ προσχωματικὴ καὶ καρστικὴ μεταλλοφορία. Αὐτὴ ὀφείλεται στὴν ἀνάδυση (Emersion), τὴ διάβρωση τοῦ ὑπόβαθρου καὶ ἀποκάρρωσή του πρὸ τὴν ἀπόθεση τοῦ σχιστόλιθου Καμάριζας ἢ Καισαριανῆς (μοσχοβιτικοῦ σχιστόλιθου), ποὺ στρωματογραφικὰ ἀνήκει στὸ Κατώτερο Τριαδικό. Πρέπει δηλ. νὰ διαβρώθηκαν μεταλλοφόροι ὄριζοντες ὑβωμάτων, τὰ ὀρυκτὰ τῶν ὅποιων γέμισαν νέα καρστικὰ ἔγκοιλα μέσα στὸ μεσολιθανθρακοφόρο μάρμαρο τῆς περιοχῆς Καμάριζας.

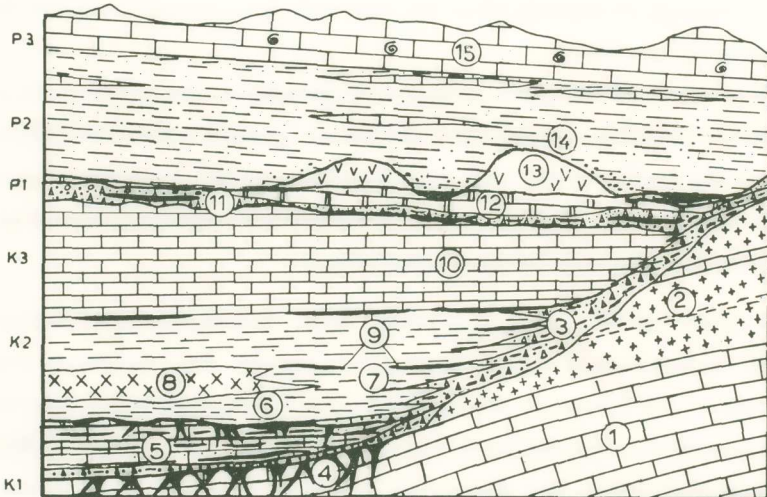
Ἡ μεταλλοφορία τῶν μικτῶν θειούχων καὶ τῶν ἄλλων ὀρυκτῶν στὸ Λαύριο συνεχίζεται καὶ σὲ ὑπερκείμενους σχηματισμούς (Σχ. 6, στρωματογραφικὲς τομές σελ. 460) ὡς διάσπαρτη ἢ στὶς ἐνστρώσεις τοῦ σχιστόλιθου Καμάριζας (K2) καὶ στὴν ἐπαφὴ του μὲ τὸ ἀνώτερο μάρμαρο Καμάριζας (K3) (Τριαδικό). Ἐπίσης τὴν συναντᾶμε στὴ ἐπαφὴ τῶν τριαδικῶν σχηματισμῶν (K3) καὶ τοῦ κατώτερου ἀσβεστόλιθου Πλάκας (P1) μέσα σὲ ἕνα κλαστικὸ ἵζημα ἡφαιστειακῆς προέλευσης, τὸν ἀναφερόμενο στὴ βιβλιογραφία ὡς ἐπιδοτίτη καθὼς καὶ στὴν ἐπαφὴ τοῦ κατώτερου ἀσβεστόλιθου Πλάκας (P1) — ὀφιόλιθων (ὑπολειμματικῶν σχηματισμῶν) καὶ σχιστόλιθου Πλάκας (P2).

Πολλοὶ ἐρευνητὲς συνδέουν τὴ γένεση τῆς μεταλλοφορίας τοῦ Λαυρίου μὲ τὸ γρανίτη τῆς Πλάκας ἢ μὲ τὸν Εύριτη (ἐπιδοτίτη), (Μαρίνος-Petascheck 1956, Morikis 1969, Leleu et al. 1973 κ.ἄ.) Κατὰ Μαρίνο-Petascheck (1956) ὁ εύριτης ἀποτελεῖ ἀποφύσεις τοῦ γρανοδιορίτη Πλάκας.

Ο εύριτης ὅπως ἀναφέρεται ἀπὸ τοὺς Μαρίνο-Petascheck (1956) εἰναι λευκὸς

έως λευκότεφρος, άλλοι ωμένος καὶ πολὺ εύθρυπτος, λόγω ἐξαλλοίωσης τοῦ θλικοῦ πρὸς καολίνη καὶ ἀσβεστίτη.

Πρόκειται περὶ ἡφαιστειακοῦ πετρώματος ἀσβεσταλκαλικοῦ τύπου ποὺ σὲ ὄρισμένες περιοχὲς περιέχει στὰ ἀνώτερα μέλη του κροκαλοπαγή. Ἡ ἐμφάνιση αὐτῆς εὑρίτη, τὸν ὅποιο οἱ Μαρίνος-Petrascheck (1956) ἀναφέρουν καὶ μέσα σὲ ὑπο-



Σχ. 6. Σχηματικὴ τομὴ προ-μεσολιθικοφόρου ὑβώματος (βαρίσκια ὄρογένεση), μεταγενέστερα ἰζήματα καὶ μεταλλοφορία Λαυρίου.

15. Κρητιδικὸς ἀσβεστόλιθος (P3)
14. Σχιστόλιθος Πλάκας (P2): Ἀνώτερο Κρητιδικό
13. Ὁφιδόλιθοι κ.λπ. ὑπολειμματικοὶ σχηματισμοὶ: Ιουρασικό
12. Κατώτερος ἀσβεστόλιθος Πλάκας (P1): Τριαδικό-Ιουρασικό (;
11. Ἐπιδοτίτης μὲν μεταλλοφορία καὶ κροκαλοπαγή
10. Ἀνώτερο μάρμαρο (K3): Τριαδικό
9. Συγγενετικὴ μεταλλοφορία
8. Ἀνδεσιτικὲς διεισδύσεις.
7. Μοσχοβιτικὸς σχιστόλιθος (K2): Κατώτερο Τριαδικό
6. Καρστική-προσχωματικὴ καὶ ἄλλη μεταλλοφορία
5. Ἐνδιάμεσα μάρμαρα (Subordonnés) μὲν συγγενετικὴ μεταλλοφορία: Μέσο Ἀνώτερο Λιθανθρακοφόρο
4. Καρστική-προσχωματικὴ καὶ ἄλλη μεταλλοφορία: Προ-μεσολιθικοφόρο
3. Κλαστικὲς ἀποθέσεις ἀπὸ διάβρωση τοῦ μετατόφφου
2. Μεταλλοφόρος μετατόφφος
1. Κατώτερο μάρμαρο Λαυρίου (K1): Δεβόνιο (;)

κείμενους σχηματισμούς, ὅπως κατώτερο μάρμαρο Λαυρίου (Κ1) και ἄλλοι, ἀντι-προσωπεύει τὸν διαβρωμένο καὶ μεταφερμένο μετατόφφο τοῦ Προ-μεσολιθανθρακοφόρου, ποὺ εἶναι καὶ αὐτὸς ἀσβεσταλκαλικοῦ τύπου.

Τὸ φαινόμενο αὐτὸς τῆς συνεχοῦς μεταλλοφορίας στὰ ιζήματα τῆς περιοχῆς Λαυρίου, συχνὰ σὲ συνύπαρξη μὲ τὸν εύριτη, εἶναι ἀποτέλεσμα τῆς συνεχοῦς διά-βρωσης γειτονικῶν ύβωμάτων, ποὺ ἀποτελοῦνται ἀπὸ μετατόφφους ποὺ ἦταν πλούσιοι σὲ μεταλλικὰ ὀρυκτά. Τὰ ὑλικὰ τῆς διάβρωσης ἀποτέθηκαν σὲ ἡπειρωτικὸν ἢ θαλάσσιο περιβάλλον στὴν παραπάνω περιοχή.

Μὲ βάση τὰ παραπάνω ἡ μεταλλοφορία Λαυρίου, τόσο στοὺς ὑποκείμενους προ-μεσολιθανθρακοφόρους σχηματισμούς, ὅσο καὶ στὰ νεότερης ἥλικίας ιζήματα (Παλαιοζωϊκὸ καὶ Μεσοζωϊκό), ἀποδίδεται σὲ ἀλλεπάλληλες διαβρώσεις τοῦ μετατόφφου γειτονικῶν ύβωμάτων.

Τὸ συμπέρασμα αὐτὸς βγαίνει ὕστερα ἀπὸ τὴν στρωματογραφική-τεκτονική καὶ πετρογραφική ἀνάλυση τῶν ιζημάτων τῆς Βορείου, Κεντρικῆς καὶ Νοτίου Ἀττικῆς.

Στὴ διεργασίᾳ τῆς μεταλλογένεσης Λαυρίου, ἔπαιξαν ρόλο καὶ ἄλλοι φυσικο-χημικοὶ παράγοντες, οἱ δόποιοι πρὸς τὸ παρόν λόγω τῆς μεταμόρφωσης (ἀνακρυ-στάλλωσης, μετακίνησης κ.λπ.) εἶναι δύσκολο νὰ ἐρμηνευτοῦν.

Στὸ Λαύριο ἔκτὸς ἀπὸ τὰ μεταλλεύματα τῶν μικτῶν θειούχων ἐντοπίστηκαν καὶ μικρὲς ποσότητες Ag, Au, Cd, Cu, Ni, B, Mn, As, Sb, Co, Mo, V, κ.ἄ.

Τὰ ὄρυκτὰ τῆς περιοχῆς Λαυρίου ξεπερνοῦν τὰ 100 εἴδη· ὅσα βρέθηκαν πρὶν τὸ 1956 ἀναφέρονται στὴν ἐργασίᾳ τῶν Μαρίνου-Petrascheck (1956, σελ. 200-206), τὰ νεότερα στοὺς τόμους τῆς Γεωλογικῆς Βιβλιογραφίας τῆς Ἐλλάδος τοῦ A. Δ. Χαραλάμπους (1961-1980).

Εὕβοια

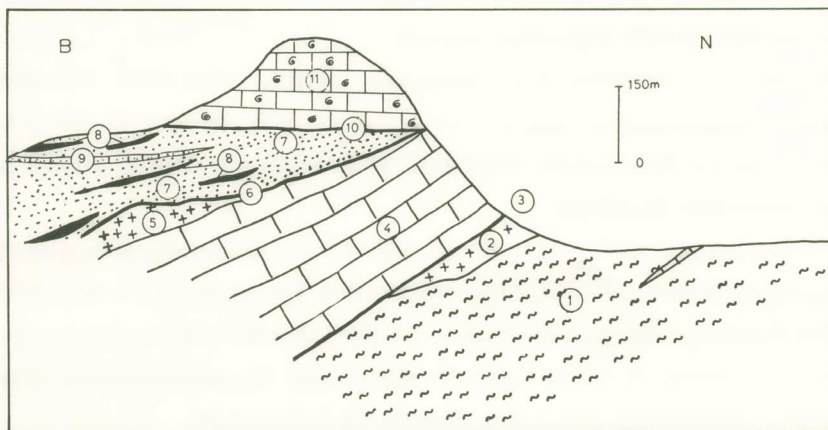
‘Γεώματα προ-μεσολιθανθρακοφόρων σχηματισμῶν παρατηρήθηκαν καὶ στὴν Κεντρικὴ καὶ Νότιο Εὔβοια.

Τὸ κατώτερο μάρμαρο τῶν περιοχῶν αὐτῶν («κατώτερο μάρμαρο Ὁλύμπου» ΒΔ. τῆς Ἐρέτριας καὶ ἄλλοι), ἀποτελεῖ πλευρικὴ συνέχεια τοῦ κατώτερου μαρμάρου Πεντέλης-Λαυρίου, Ἀττικῆς.

Πάνω σ' αὐτὸς ἔχει ἀποτεθεῖ καὶ ἐδῶ ὁ μετατόφφος. Τὰ πετρώματα αὐτὰ (μετατόφφος, ύβωμα Σέτας, κατώτερο μάρμαρο ΒΔ. Ἐρέτριας) παρουσιάζουν μιὰ ἔντονη διάβρωση παλαιότερη τοῦ Μέσου Λιθανθρακοφόρου. Στὴν περιοχὴν ΒΔ. τῆς Ἐρέ-

τριας, πάνω στὸ κατώτερο μάρμαρο (Δεβόνιο;) κάθονται μὲ ἀσυμφωνία κλαστικὰ ιζήματα καὶ μεσοτριαδικοὶ ἀσβεστόλιθοι, Σχ. 7.

Οἱ μεσοτριαδικοὶ ἀσβεστόλιθοι, τῶν ὁποίων ἡ ἥλικία καὶ ἡ φάση (ἀπόθεση σὲ ρηγὴ θάλασσα), προσδιορίστηκαν μὲ ἀπολιθώματα ἀπὸ τὴν κ. Β. Κορωναίου (ΙΓΜΕ), ἀποδεικνύουν καὶ ἐδῶ τὴν ὑπαρξην ὑβωμάτων καὶ λεκανῶν στὴ διάρκεια τοῦ Λιθανθρακοφόρου - Περμίου - Τριαδικοῦ κ.λπ.



Σχ. 7. Γεωλογικὴ τομὴ τῆς ΒΔ. τῆς Ἐρέτριας Εύβοίας (Δυτ. "Ολυμπος")

1. Φυλλίτες - σχιστόλιθοι μὲ ἐνστρώσεις μαρμάρων: (πτυχὲς ΒΔ-ΝΑ Καληδόνιος πτύχωση;)
2. Ἀνδεσίτης
3. Ἀσυμφωνία (;
4. Κατώτερο μάρμαρο ΒΔ. Ἐρέτριας (Δεβόνιο ;): (πτυχὲς ΒΑ-ΝΔ Βαρίσκιος πτύχωση;)
5. Μετατόφφος
6. Ἀσυμφωνία
7. Κλαστικὰ ὄλικὰ προερχόμενα ἀπὸ τὴ διάβρωση τοῦ μετατόφφου
8. Συγκεντρώσεις μεταλλευμάτων Pb, Zn, Mn, Ni, Fe κ.λπ.
9. Ἐνστρωση μαρμάρου μὲ κλαστικὲς προσμίξεις
10. Ἀσυμφωνία
11. Μεσοτριαδικοὶ ἀσβεστόλιθοι

Τὰ ὑβώματα αὐτά, ποὺ δημιουργήθηκαν ἀπὸ τὴ βαρίσκια ὄρογένεση, τροφοδοτοῦσαν μὲ κλαστικὸ ὄλικὸ καὶ μεταλλικὸ ὄρυκτὰ καὶ ἐδῶ τὶς γύρω λεκάνες στὴ διάρκεια τῶν μεταγενέστερων νεοπαλαιοζωικῶν καὶ μεσοζωϊκῶν ἐποχῶν. Ἐμφανίσεις μικτῶν θειούχων καὶ ἄλλων μεταλλευμάτων, ποὺ προέρχονται ἀπὸ τὴ παρα-

πάνω διάβρωση τοῦ μετατόφφου, εἶναι πολὺ διαδεδομένες σὲ διάφορους στρωματογραφικούς όρίζοντες στὴν Εύβοια.

Μετὰ τὴν βαρίσικα δρογένεση σὲ περιοχὲς ποὺ οἱ συνθῆκες ἦταν πρόσφορες (μορφολογία, βροχοπτώσεις, κατάλληλο κλίμα κ.λπ.) εἴχαμε στὴ διάρκεια τοῦ Λιθανθρακοφόρου καὶ τὴ δημιουργία στρωμάτων λιθανθράκων ὅπως π.χ. ΒΑ. τῆς Ἐρέτριας (Παρθένι, Παναγιά, Θαρούνια).

Κυκλάδες

Τὰ ἔδια φαινόμενα διάβρωσης τοῦ μετατόφφου καὶ ἐπανατοποθέτησης τῶν ὀρυκτῶν του διαπιστώθηκαν σὲ ὅλες τὶς ἐμφανίσεις μικτῶν θειούχων στὴν περιοχὴ τῶν Κυκλάδων καὶ ἀνατολικότερα. Τὰ κοιτάσματα Pb, Zn, Fe κ.λπ., ὀξειδωμένα καὶ μή, παρουσιάζονται μὲ τὴ μορφὴ φακοειδῶν ἐνστρώσεων μέσα σὲ σχιστόλιθους, στὴν ἐπαφὴ μὲ μάρμαρα ἢ σὲ καρστικὰ ἔγκοιλα.

Παραδείγματα λειτουργίας τῆς παραπάνω ἐπιγενετικῆς, διάσπαρτης καὶ συγγενετικῆς μεταλλοφορίας παρατηροῦνται στὴ Νάξο, Τήνο, Σύρο, Πάρο καὶ γενικὰ σὲ ὅλες τὶς μεταλλοφόρες ἐμφανίσεις τῆς περιοχῆς τοῦ Αἰγαίου.

Πελοπόννησος

Ἡ γεωλογικὴ ἔρευνα στὶς περιοχὲς Μολάων, Τυροῦ, Κροκεῶν καὶ γενικὰ στὴν ἀνατολικὴ Πελοπόννησο ἀπέδειξε ὅτι οἱ (ύποθαλάσσιοι) ἡφαιστειακοὶ σχηματισμοὶ ἀνδεστικῆς σύστασης, ποὺ συνδέονται μὲ πρωταρχικὴ ἀτμιδικὴ μεταλλοφορία μικτῶν θειούχων καθὼς καὶ ἄλλων ὀρυκτῶν, ἀνήκουν ἐπίσης στὴν προ-μεσολιθανθρακοφόρο ἐποχή. Ἀποτέλεσαν μάλιστα καὶ ἐδῶ βαρίσικα ύβριματα τὰ ὅποια κατὰ τὴ διάρκεια τοῦ Λιθανθρακοφόρου-Πέρμιου κ.λπ. τροφοδοτοῦσαν τὶς γύρω λεκάνες μὲ μεταλλικὰ καὶ ἄλλα ύλικά.

Ἐπιγενετικὴ ἡπειρωτική, καθὼς καὶ συγγενετικὴ μεταλλοφορία Pb, Zn, Fe κ.ἄ. παρατηρεῖται στὰ νεότερα ιζήματα τῶν γύρω περιοχῶν, καθὼς καὶ στὰ σχιστολιθικὰ ιζήματα τῆς περιοχῆς Ταϊγέτου.

Οἱ ἡφαιστειακοὶ αύτοὶ σχηματισμοὶ καλύπτονται στοὺς Μολάους κ.ἄ. μὲ ἀσυμφωνία ἀπὸ τριαδικοὺς σχηματισμούς.

Σὲ ἄλλες περιοχὲς (Τυρός-Μονεμβασία) καλύπτονται μὲ ἀσυμφωνία ἀπὸ ιζήματα περμίου ἢ λιθανθρακοφόρου ἥλικίας.

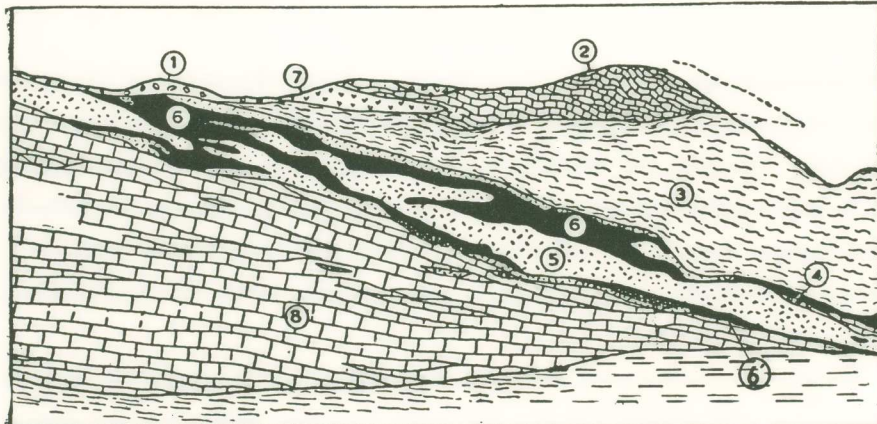
Βόρειος Ελλάς

Μια ἔντονη όρογένεση και διάβρωση παλαιότερη του Μέσου Λιθανθρακοφόρου, διαπιστώθηκε και στη Βόρειο Ελλάδα.

Ο Brunn (1964) ἀναφέρει ὅτι μετά τὴν ἐρκύνιο φάση, μεταξύ Ἀνωτέρου Δευτερίου και Μέσου Λιθανθρακοφόρου, διαφοροποιοῦνται στὰ Βαλκάνια τρεῖς περιοχές:

- α. Οι ἐσωτερικὲς ζῶνες τοῦ ἀλπικοῦ τμήματος ποὺ βυθίζονται και γίνονται ἡ ἔδρα λιμναίας και χερσαίας ιζηματογένεσης κατὰ τὴ διάρκεια τοῦ Βεστφαλίου, Στεφανίου και Πέρμο-Τριαδικοῦ.
- β. Ο ροδοπικὸς πυρήνας ποὺ παραμένει χέρσος και ὑπόκειται σὲ διάβρωση.
- γ. Οι ἐσωτερικὲς ζῶνες τοῦ διναρικοῦ πυρῆνα ποὺ βυθίζονται και γίνονται ἡ ἔδρα μιᾶς κλαστικῆς θαλάσσιας ιζηματογένεσης κατὰ τὶς διάφορες βαθμίδες τοῦ Λιθανθρακοφόρου και μέχρι τὸ Πέρμιο.

Σ' αὐτὲς τὶς περιοχὲς ποὺ βρίσκονται γύρω ἀπὸ τὴ μάζα τῆς Ροδόπης, ὅπως π.χ. στὴ Χαλκιδικὴ και στὴ Θάσο, ἡ στρωματογραφία, ἡ τεκτονικὴ και οἱ ἐμφανίσεις τῶν μικτῶν θειούχων τοῦ μαγγανίου κ.λπ. μεταλλευμάτων παρουσιάζουν ὄμοιότητες μὲ ἐκείνες τῆς Αττικῆς.



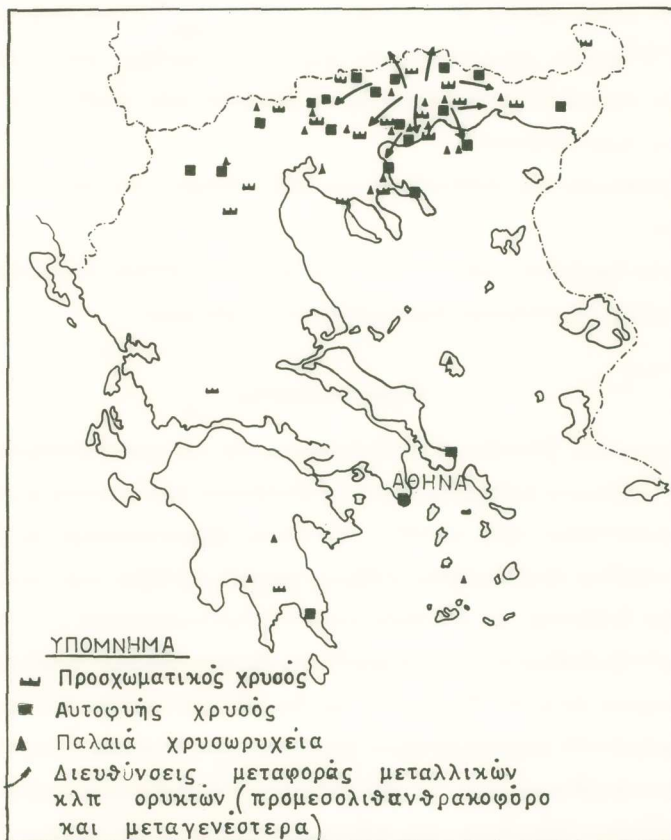
Σχ. 8. Τομὴ τοῦ κοιτάσματος σιδηροπυρίτη και B.P.G. Μαδέμ Λάκκου, Μεταλλεῖα Κασσάνδρας.
(Μουσούλος 1962)

1. Όλοκαινικὲς ἀποθέσεις, 2. Μάρμαρο, 3. Γνεύσιος, 4. Κερατίτης, 5. Μεταφερμένο ἥφαιστειακὸ και ἄλλο ὄλικό ('Απλίτης) 6. Μετάλλευμα σιδηροπυρίτη, 6'. Μετάλλευμα B.P.G., 7. Κάλυμμα σιδήρου, 8. Χονδρόκοκκο μάρμαρο.

Τὰ μεταλλεύματα ἔχουν ἀποτεθεῖ ὡς προϊόντα μιᾶς πολὺ ἔντονης διάβρωσης ποὺ φαίνεται ὅτι (σύμφωνα μὲ τὰ στρωματογραφικὰ στοιχεῖα τοῦ Brunn) ἔγινε μετὰ τὸ Μέσο Δεβόνιο.

"Οπως δείχνει καὶ τὸ Σχ. 8 ἀπὸ τὸν Μαδὲμ Λάκκο Χαλκιδικῆς, τὸ ὑποκείμενο μάρμαρο τῆς περιοχῆς αὐτῆς εἶναι ἔντονα διαβρωμένο. Πάνω σ' αὐτὸν ἔχει μεταφερθεῖ καὶ ἀποτεθεῖ τὸ μετάλλευμα τῶν μικτῶν θειούχων, ἀναμεμιγμένο μὲ ἡφαιστειακὸν καὶ ἄλλο ύλικό.

Τὰ ύλικὰ γιὰ τὴν ἵζηματογενὴ αὐτὴ μεταλλοφορία πρέπει νὰ ἔχουν ἔλθει ἀπὸ τοὺς μετατόφφους τῆς Μάλας τῆς Ροδόπης (περιοχὴ πρωταρχικῆς γένεσης τῶν κοιτασμάτων), γιατὶ ἐπιγενετικὰ καὶ συγγενετικὰ κοιτάσματα μικτῶν θειούχων καὶ ἄλλων ὄρυκτῶν ὑπάρχουν καὶ στὴν Περιροδοπικὴ Ζώνη ('Ολυμπιάδα, Σκουριές, Μεγάλη Παναγιά, "Αγιον Όρος, στὴ Θάσο, Σαμοθράκη, Κιλκίς κ.ἄ.).



Σχ. 9. Ἐμφανίσεις προσχωματικοῦ καὶ αὐτοφυοῦς χρυσοῦ καὶ διευθύνσεις μεταφορᾶς μεταλλικῶν καὶ ἄλλων ύλικῶν στὴ ΒΑ. Ἐλλάδα.

Οι πιὸ πάνω περιοχές, ποὺ βρίσκονται γύρω ἀπὸ τὴ Ροδόπη, ἀποτέλεσαν λεκάνες μετὰ τὴν ἀνάδυση τῆς ροδοπικῆς μάζας κατὰ τὴ βαρίσκια ὄρογένεση καὶ δεχόντους συνεχώς μεταλλικὰ καὶ ἄλλα κλαστικὰ καὶ χημικὰ ὄλικά, ποὺ προέρχονταν ἀπὸ τὸ ὕβωμα τῆς μάζας τῆς Ροδόπης, στὸ ὅποιο ὑπάρχουν πολλὰ ὑπολείμματα διασκορπισμένης μεταλλοφορίας.

‘Ο δυσδιάλυτος χρυσός, ὅπως δείχνουν οἱ πολλὲς ἐμφανίσεις του στὴ μάζα τῆς Ροδόπης, φαίνεται ὅτι παρέμεινε κυρίως στὸν τόπο ἢ κοντὰ στὸν τόπο γένεσής του (Σχ. 9).

‘Ο ’Αριστοτέλης, ὁ Στράβων, καθὼς καὶ ὁ ’Ηρόδοτος ἀναφέρουν ἐκμεταλλεύσεις χρυσοῦ στὸ Βέρμιο, Πιερία, Παγγαίο, Κόλπο ’Ελευθερῶν ἀπέναντι ἀπὸ τὴ Θάσο, βόρεια τῆς ’Αμφίπολης, στὴ Ροδόπη καὶ ἄλλοι. Μεγάλη περιεκτικότητα σὲ προσχωματικὸ χρυσὸ διαπιστώθηκε ἀπὸ τὸν γράφοντα Β. τοῦ κόλπου ’Ελευθερῶν, (βλ. Γεωλ. χάρτη Κοκκινάκης 1980), καθὼς καὶ στὴν περιοχὴ τῆς ’Αμφίπολης. ‘Ο χρυσὸς συναντᾶται στὶς παραπάνω περιοχές μέσα στὸ γνευσιακὸ ὑπόβαθρο, ποὺ ἀποτελεῖ μεταφερμένο ὄλικὸ ἥφαιστειακῆς προέλευσης, καθὼς καὶ σὲ πρόσφατους σχηματισμούς.

‘Η μεταμόρφωση ποὺ ἀκολούθησε καὶ ἐδῶ, ἀνακρυστάλλωσε πετρώματα καὶ μεταλλεύματα.

Σ’ ὅλες τὶς ἐμφανίσεις τῶν μικτῶν θειούχων συναντᾶται γαληνίτης, σφαλερίτης, σιδηροπυρίτης μὲ σύνδρομο βαρίτη, φθορίτη ἢ χαλαζία.

3. ΣΥΜΠΕΡΑΣΜΑΤΑ

Στὴν ’Ανατολικὴ ’Ελλάδα κατὰ τὴ διάρκεια τῆς προ-μεσολιθικοφόρου περιόδου (Μέσο Δεβόνιο;) ἐκδηλώθηκε μιὰ ὑποθαλάσσια ἥφαιστειακὴ δραστηριότητα ἀσβεσταλκαλικοῦ τύπου, πρὸς τὸ τέλος τῆς ὅποιας σχηματίστηκαν καὶ ὑδροθερμικὰ διαλύματα μολύβδου, ψευδαργύρου, σιδήρου, χρυσοῦ, ἀργύρου κ.ἄ. μετάλλων. Στὴ συνέχεια, λόγω ἀνάδυσης τῆς περιοχῆς κατὰ τὴ βρετονικὴ φάση (;) τῆς βαρίσκιας ὄρογένεσης καὶ τῆς διάβρωσης ποὺ ἀκολούθησε, δημιουργήθηκαν ἔκτεταμένα ιζηματογενὴ κοιτάσματα ὄρυκτῶν Pb, Zn, Fe, Ag, Au, Mn καὶ πολλῶν ἄλλων μετάλλων.

Στὴ διάρκεια τῶν μεταγενέστερων βαρίσκιων καὶ ἀποσάθρωσην ὄρογενέσεων (χερσεύσεων) δημιουργήθηκαν ἀπὸ τὴν ἀποσάθρωση καὶ διάβρωση κυρίως τῶν βαρίσκιων μεταλλοφόρων ὑβωμάτων, ποὺ ἀποτελοῦνταν ἀπὸ τὸ μετατόφφο, ἐπιγενετικὰ κοιτάσματα μικτῶν θειούχων, καθὼς καὶ βωξίτη, μαγγανίου καὶ ἄλλων ὄρυκτῶν.

‘Η στρωματογραφία και ἡ παλαιομορφολογία τῆς προ-μεσολιθανθρακοφόρου περιόδου εἶναι πολὺ σημαντικές γιὰ τὴν ἀνακάλυψη παρόμοιων νέων κοιτασμάτων στὸν ἑλλαδικὸ χῶρο.

Οἱ μεσο- και μεταλπικὲς ὄρογενετικὲς κινήσεις πτύχωσαν και κατακερμάτισαν πετρώματα και κοιτάσματα. Κατὰ τὴ διάρκεια τῶν γρανιτικῶν διεισδύσεων και τῆς μεταμόρφωσης τῶν πετρωμάτων ἐπῆλθε μιὰ ἀναθέρμανση, μετακίνηση (mobilisation) και ἀνακρυστάλλωση τῶν μεταλλευμάτων.

‘Απὸ τὴ μελέτη αὐτὴ γίνεται φανερὸ δτι τόσο στὴν Ἀνατολικὴ Ἐλλάδα, ὅσο και στὸ ὑπόβαθρο τῆς Δυτικῆς Ἐλλάδος εἶναι ἐνδεχόμενο νὰ ὑπάρχουν μεγάλα ἀποθέματα μικτῶν θειούχων, βωξίτη και ἄλλων μεταλλευμάτων, μεταξὺ τῶν ὁποίων χρυσὸς και ἀργυρος, γιατὶ ἡ περίοδος αὐτὴ (Προ-μεσολιθανθρακοφόρο), ἐὰν κρίνουμε ἀπὸ περιοχὲς μὲ ἐπιφανειακὲς ἐμφανίσεις, δπως τὸ Λαύριο, τὴ Χαλκιδική, και ἄλλες, εἶναι πλούσια σὲ μεταλλοφορία.

Τὸ ὑποθαλάσσιο ἥφαιστειακὸ πέτρωμα (ρυοδακίτης-δακίτης-χαλαζιακὸ λατιανδεσίτης) ποὺ εἶναι παλαιότερο τοῦ Μέσου Λιθανθρακοφόρου μὲ τὴ μεταλλοφορία και τὴν ὑπερκείμενη ἀσυμφωνία μπορεῖ νὰ ἀποτελέσει χαρακτηριστικὸ ὄριζοντα γιὰ στρωματογραφικὴ ἀνάλυση στὰ ἰσχυρῶς μεταμορφωμένα ιζήματα τῆς Ἀνατολικῆς Ἐλλάδος.

‘Αντίστοιχα κοιτάσματα μικτῶν θειούχων μὲ ἡλικία τὸ μέσο και τὸ ἀνώτερο Δεβόνιο ὑπάρχουν στὴν Εύρωπη στὸ Mechernich (Eifel), στὸ Rammelsberg, Goslar (Harz), στὸ Meggen (Βεστφαλία) κ.ἄ., καθὼς και στὸ χῶρο τῆς Μεσογείου.

‘Αναμφίβολα πρόκειται γιὰ μία ἀπὸ τὶς μεγαλύτερες μεταλλογενετικὲς ἐποχὲς και ἐπαρχίες.

Συνοψίζοντας τὰ παραπάνω ἡ γεωλογικὴ-τεκτονικὴ ἐξέλιξη στὴν Ἀττικὴ και στὶς γειτονικὲς περιοχὲς ἔχει ὡς ἔξης:

I. ‘Ιζηματογένεση κατώτερου μαρμάρου Πεντέλης-Λαυρίου (πάχος 500-600 m).

II. ‘Ηφαιστειακὴ δραστηριότητα: Μέσο Δεβόνιο (;

ρυοδακίτης → δακίτης → χαλαζιακὸ λατιανδεσίτης

Σύγχρονη πρωταρχικὴ (ὑποθαλάσσια) ἀτμιδικὴ ἀπόθεση Pb, Zn, Fe, Ag, Au και ἄλλων μεταλλευμάτων.

III. ‘Ανοδικὴ παροξυσμικὴ κίνηση, βαρίσκια ὄρογένεση: Ἀνώτερο Δεβόνιο.

Πτυχὲς BA-NΔ, δημιουργία ύβωμάτων-λεκανῶν Ἀττικῆς, Εύβοιας, Κυκλαδῶν Πελοποννήσου, Κρήτης, Ροδόπης κ.λπ. Γρανιτικὲς διεισδύσεις

’Ανατολικής ’Ελλάδος καὶ μεταμόρφωση ἵζημάτων.

’Ακολουθεῖ διάβρωση ἡφαιστειακῶν σχηματισμῶν καὶ μεταλλευμάτων καὶ 1η ἐπιγενετικὴ ἀπόθεση ἡπειρωτικῶν μικτῶν θειούχων, κ.λπ. κοιτασμάτων (Μαραθώνας, ’Υμηττός, Λαύριο, ’Ανατολική ’Ελλάς).

IV. Καθοδική κίνηση: Μέσο Λιθανθρακοφόρο (Βεστφάλιο)

’Ιζηματογένεση Μέσου Λιθανθρακοφόρου (’Αττική: κυρίως ἀνθρακικὴ φάση), Περμίου (;

A. Συγγενετική, ἐπάλληλη μεταλλοφορία μικτῶν θειούχων καὶ τῶν ἐνδιάμεσων μαρμάρων (Subordonnés) Λαυρίου (Μέσο Λιθανθρακοφόρο).

V. ’Ανοδική κίνηση: Πέρμιο

Διάβρωση ὑποβάθρου καὶ

2η ἐπιγενετικὴ ἀπόθεση ἡπειρωτικῶν μικτῶν θειούχων κοιτασμάτων, πάνω στὰ ἐνδιάμεσα μάρμαρα (Subordonnés) Λαυρίου.

VI. Καθοδική κίνηση: (’Ανώτερο Πέρμιο; Κατώτερο Τριαδικό).

’Ιζηματογένεση μοσχοβιτικοῦ σχιστόλιθου (σχιστόλιθος Μαραθώνα, Κατσαριανῆς, Καμάριζας) καὶ ὑποθαλάσσια ἡφαιστειακὴ δραστηριότητα (ἀνδεσιτικὲς διεισδύσεις).

B. Σταδιακή, συγγενετική, ἐπάλληλη μεταλλοφορία μικτῶν θειούχων καὶ τοῦ μοσχοβιτικοῦ σχιστόλιθου (Καμάριζα, Λαύριο). ’Ιζηματογένεση Μέσου ’Ανώτερου Τριαδικοῦ (ἀσβεστόλιθοι, δολομῖτες).

VII. ’Ανοδικές-καθοδικές κινήσεις στὴ διάρκεια τοῦ ’Ανωτέρου Τριαδικοῦ-’Ιουρασικοῦ. Τροφοδότηση κλαστικοῦ κ.ἄ. ὑλικοῦ, ἐπιδοτίτη καὶ μεταλλευμάτων στὴν περιοχὴν Πλάκας Λαυρίου.

3η ἐπιγενετικὴ ἀπόθεση ἡπειρωτικῶν μικτῶν θειούχων κοιτασμάτων στὸ Λαύριο μεταξὺ ἀνώτερου μαρμάρου (Κ3) καὶ κατώτερου ἀσβεστόλιθου Πλάκας (Ρ1).

Τοποθέτηση (μὲ ἐπώθηση) ὁφιόλιθων κλπ. σχηματισμῶν τῆς σχιστοκερατοιθικῆς διάπλασης.

VIII. ’Ανοδική κίνηση: παλαιότερη τοῦ ’Ανωτέρου Κρητιδικοῦ

Διάβρωση προ-ανωκρητιδικῶν -ἰουρασικῶν καὶ σὲ ὄρισμένες περιοχὲς τῶν ἀνώτερων ὁρίζόντων τῶν τριαδικῶν σχηματισμῶν.

4η ’Επιγενετικὴ ἀπόθεση ἡπειρωτικῶν μικτῶν θειούχων στὸ Λαύριο μεταξὺ κατώτερου ἀσβεστόλιθου Πλάκας (Ρ1) καὶ σχιστόλιθου Πλάκας (Ρ2).

Σχηματισμὸς βωξιτικοῦ κοιτάσματος Μάνδρας ’Ελευσίνας καὶ σιδηρονικε-

λιούχων κοιτασμάτων Αἰγάλεω, Κορυδαλλοῦ κ.ἄ.

IX. Καθοδική κίνηση: 'Ανώτερο Κρητιδικό

'Ιζηματογένεση ἀνωκρητιδικοῦ ἀσβεστόλιθου (μαρμάρου) Βορείου 'Αττικῆς καὶ πολυυφασικῶν ιζημάτων τοῦ Λεκανοπέδιου τῆς 'Αθήνας καὶ τῆς Νοτίου 'Αττικῆς.

X. 'Ανοδική κίνηση:

'Απόθεση φλύσχη, πτυχὲς ΒΔ-ΝΑ (Διναρικῆς) διεύθυνσης.

XI. 'Ακολουθοῦν: Πτυχὲς ΒΑ-ΝΔ διεύθυνσης παροξυσμικῆς φάσης (δημιουργία Πεντελικοῦ κ.λπ.) γρανιτικὲς διεισδύσεις, μεταμόρφωση τῆς 'Αττικοκυκλαδικῆς μάζας, μετακίνηση (mobilisation) καὶ ἀνακρυστάλλωση τῶν μεταλλευμάτων.

'Εντονη διάβρωση καὶ δημιουργία γεωλογικοῦ παράθυρου Μαραθώνα-Πεντέλης-Πάρνηθας.

'Απόθεση ἄνω μειοκαινικῶν (πόντιων) ἡπειρωτικῶν ιζημάτων (Πικέρμι-Μαραθώνας).

XII Πτυχὲς Β-Ν διεύθυνσης

Διάβρωση-ἀπόθεση πλειοκαινικῶν (ἄστιων) θαλάσσιων (Ραφήνα, Πειραιάς κ.ἄ.) καὶ χερσαίων ιζημάτων.

XIII. Οι νεότερες χερσαῖες ἀποθέσεις (ἐρυθρογή) προέρχονται κυρίως ἀπὸ τὴν ἀποσάθρωση ἀσβεστόλιθων, μαρμάρων καὶ ἄλλων πετρωμάτων (π.χ. μάρμαρο (M2) στὴν ἀνατολικὴ πλευρὰ Πεντέλης κ.ἄ.), ποὺ περιέχουν ὄρυκτὰ ἀπὸ τὴ βαρίσκια διάβρωση τοῦ προ-μεσολιθανθρακοφόρου μετατόφφου.

XIV. 'Η μεσο- καὶ μεταλπικὴ ρηγματογενῆς τεκτονικὴ παρουσιάζεται μὲ σειρὰ ἀκολουθίας: ΒΑ-ΝΔ, Α-Δ καὶ ΒΔ-ΝΑ διευθύνσεις ρηγμάτων.

Δημιουργία ρηγμάτων μὲ Α-Δ καὶ ΒΔ-ΝΑ διευθύνσεις συνεχίζονται μὲ ἀλληλοδιαδοχικὲς κινήσεις μέχρι σήμερα.

Στὰ ρήγματα παρατηρεῖται μιὰ δεξιόστροφή φορά.

**ΣΥΓΚΡΙΤΙΚΕΣ ΣΤΡΩΜΑΤΟΓΡΑΦΙΚΕΣ ΤΟΜΕΣ
ΜΕ ΤΑΜΟΡΦΩΜΕΝΩΝ ΠΕΤΡΩΜΑΤΩΝ ΒΟΡΕΙΟΥ ΚΑΙ ΝΟΤΙΟΥ ΑΤΤΙΚΗΣ**

Από

Γεώργιο Δ. Παπαδέα

ΜΑΡΑΘΩΝΑΣ – ΠΕΝΤΕΛΗ

? ολόσχημα

Κρητιδινά
ναφρίδια
Νερινές – Ρουστές

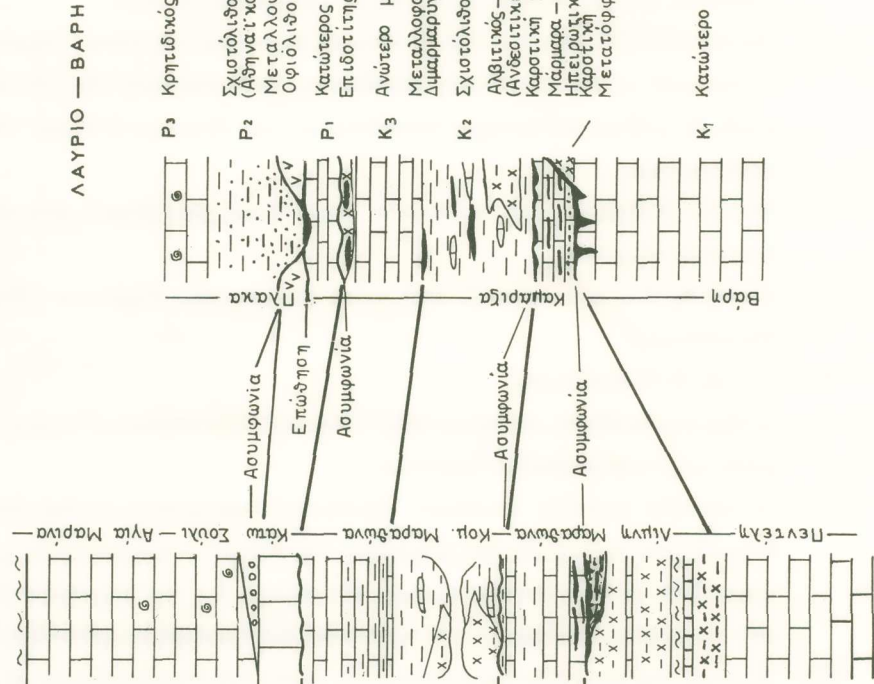
Κροκαλοπαγή

Βιστούμενουχό^η
νάφριδο με SILEX
Διαπλασιγματός οχιστός έχιστος
νάφριδο με χαλαζικές ενστρώσεις
κοινοχρήστικός οχιστόλιθος

Αβυτινός – Χαλαζικός οχιστόλιθος
(Ανδεσιτικός διεργούμενος)
Αιθεριτεινός – μαρμαρυγιναός οχι-
στόλιθος
νάφριδο (M²)
Οξειδωμένα πετρ. Zn, Fe, κλπ.
Ηπειρωτικές αποθέσεις
μετατοποιητικούς μαρμάρου

Αιθινός – μαρμαρυγιναός σχι-
στόλιθος με εναρπάσεις μαρμάρων
μετατοποιητικός

Κατάντερο νάφριδο Λαυρίου



E 100 m

ΓΕΩΛΟΓΙΚΗ – ΤΕΚΤΟΝΙΚΗ ΕΞΕΛΙΞΗ ΣΤΗΝ ΑΤΤΙΚΗ – ΜΕΤΑΛΛΟΦΟΡΙΑ

από
τεύρυο Δι παπαδέα.

ΠΕΡΙΟΔΟΙ	ΙΖΗΜΑΤΑ	ΗΦΑΙΣΤΕΙΟΤΗΤΑ ΠΛΟΥΤΙΝΙΟΣ	ΤΕΚΤΟΝΙΚΗ	ΜΕΤΑΜΟΦΩΣΗ	ΔΙΑΒΡΩΣΗ	ΜΕΤΑΛΛΟΓΕΝΕΣΗ – ΜΕΤΑΛΛΟΦΟΡΙΑ
ΠΕΡΙΟΔΟΙ ΤΕΑΤΟΠΟΛΕΝΤΙ	Οικοκαλύν Πλευρικάνινο	Πηγερμένες και διασπόρεις αποθέσεις	(Τα ρηματά Α-Δ και ΒΔ-ΝΑ συνεχίζονται διλήμματα διαχείρισης)	—	↑ (βιομηχανία γεωλογικών παραγόμενων προϊόντων παραγωγής - μαργαρινών)	—
ΠΕΡΙΟΔΟΙ ΚΑΤΩ ΜΕΤΟΧΑΛΥΝΟ (Αστού)	Βασιλεύοντες – Μηδενικοί Πηγές	—	ρήματα ΒΔ-ΝΑ βρέθηκαν σε ανατολική πλευρά της Αθήνας,	—	↑ (βιομηχανία γεωλογικών παραγόμενων προϊόντων παραγωγής - μαργαρινών)	—
ΠΕΡΙΟΔΟΙ ΟΛΥΜΠΟΥΧΑΛΥΝΟ	Επονέστες – Πηγές	—	ποτύξες Β-Ν διεύθυνση [α σ ο μ φ α ν ι α]	—	↑ (τεχνητές διαφάνειες)	—
ΠΑΝΑΓΙΩΤΑΚΑΛΥΝΟ	Αποθέσεις (Πηγές Μαραθώνας)	—	οικοτυπικές διεύθυνσεις (Πλάκα Λυρίου)	—	—	λειτουργίας σε εκτατικά ρήματα (Μ2)
ΑΝΩΤ. ΚΡΗΤΙΔΙΚΟ	ανώτερο μάρμαρο Μαραθώνα – ΒΑ Υμηττού – και ανώτερος ασβετόλιθος Πλάκας Λαγού (Ρ3) - σθητηριακός σχιστόλιθος σχιστολιός Πλάκας Λαυρίου	—	πρήματα ΒΔ-ΝΑ διεύθυνση η ποτύξη ΒΔ-ΝΔ διεύθυνσης	—	—	εργασίας σε εργασία γεωλογικών προϊόντων παραγωγής (Αρτεμία προστατευόμενη φυσική έκθεσης)
ΚΑΤΩΤ.	πηγερωτικές αποθέσεις	—	—	—	—	—
ΑΝΩΤ. ΗΓΡΑΣΙΚΟ ΚΑΤΩΤ.	οφιδίων – κερατολιθών και (οχιακούρετων διάταξης) και Ν Α Αιγαίου	—	—	—	—	—
ΑΝΩΤ. ΜΕΣΟΤΡΙΔΙΚΟ	χωτούσεος ασβετόλιθος (Πλάκας Ροδαύρειο)	—	—	—	—	—
ΚΑΤΩΤ.	ηπειρωτικές αποθέσεις (λαύριο)	—	—	—	—	—
ΑΝΩΤ. ΜΕΣΟΤΡΙΔΙΚΟ	κυρηπάρα - δολιοτεςίς (Μαραθώνας-Μαντούδης-Καλαύρας) πάχος 150-200μμ διασπαραγμένες οχυρότερες (πάχος 3 - 4 μ.) ενός ρουτί ή μαρμάρου (περίοδος 4 - 5 μ.)	—	—	—	—	
ΚΑΤΩΤ.	υστογήτων οχυρών σε ανθεστήνες λευκόβησης (Κ2) Κραφερόνιας - Καυσαράνιας - Κευσάνιας (πάχος 20-60μμ τανθρετικής ρευστάτας)	—	—	—	—	—
ΠΕΡΙΜΟΙ	μάρμαρο ασβετόλιθοι και (Πάρνητα) μαραθώνιος και καριάσιουν.	—	—	—	—	—
ΑΝΩΤ. ΛΙΘΟΝΓΟΡΙΦΟΡΟ	μάρμαρο (Μ2) Μαραθώνας	—	—	—	—	—
ΚΑΤΩΤ.	ηπειρωτικές αποθέσεις	Αντενέτη	ενδιάμεσα μεταμόρφωσης (πάχος 5 - 15 μ)	?	—	—
ΔΑΑΙΟΖΟΙΚΟ	μετατύφωρος - με ενορμές ιαριάδων και σκαριώτινων ασθενειών	—	—	—	—	—
ΑΝΩΤ. ΜΕΣΟΔΕΛΒΟΝΙΟ	μαραθώνας - Πετέτην Λαυρίο κ.α) (περίοδος 0 - > 800 μ. πριν διαστάσεις → βαθύτερης γεωλογικής υψηλότητας σε περιοχές ιαριάδων λεκανών, κατατέρπιση μαρμάρου Πεντέλης-Λαυρίου και πάχος 500-600 μ. παντανεύοντας).	—	—	—	—	—
ΚΑΤΩΤ.	—	—	—	—	—	—

ΒΙΒΛΙΟΓΡΑΦΙΑ

- Γ. Αρώνης, 'Ο χαλαζιακός κερατοφύρης τῆς Πάρνηθος ὡς μητρικὸ πέτρωμα τοῦ Βαξίτου, Δ.Ε.Γ.Ε. τόμ. IX τεῦχος 2, σ.σ. 229-245, 'Αθήνα, 1972.
- J. Bodechtel and G. Papadeas, Tectonic Aerial Interpretation in the Mediterranean Region exemplified by the Metamorphic Series of Eastern Greece, near Marathon. Photogrammetria, 23 p.p. 201-210 Amsterdam, 1968.
- M. Bonneau, Des fossiles devoniens remaniés dans le Trias supérieur de la zone du Pinde en Crète (Grèce) indications sur la rature du sub stratum anté-Permien des zones helléniques extrernes. CRAS, II, 304. p.p. 89-92, 1987.
- Γ. Βορεάδης, Νεοκιμμερικὴ πτύχωσις εἰς τὴν Ἀ. Ἐλλάδα καὶ αἱ φάσεις τῆς Ἀλπικῆς ἐν Ἐλάδῃ Ὁρογενέσεως. Διατριβὴ ἐπὶ ὑφηγεσίᾳ, 'Αθῆναι, 1937.
- R. Brinkmann, Abriss der Geologie. 2.Bd, Historische Geologie. Ferdinand Enke Verlag, Stuttgart, 1959.
- J. H. Brunn, Sur la disposition originelle du système alpin en trois rameaux. Application de cette notion à l'analyse de grandes structures chariees. Alpes orientales. Carpathes C. R. Ac. Sc., 259 p.p. 4739-4741. Paris, 1964.
- Α. Δούνας, 'Η Γεωλογία τῆς μεταξὺ Μεγάρων καὶ Ἐρυθρῶν Περιοχῆς. Διατριβὴ ἐπὶ διδακτορίᾳ. Γεωλ. Γεωφ. Ἐρευνες τόμ. 15/2, σ.σ. 129-263, 'Αθήνα, 1971.
- Α. Δούνας καὶ Π. Γαϊτανάκης, Στρωματογραφικὲς καὶ τεκτονικὲς παρατηρήσεις στὴ βουνοσειρὰ τοῦ Αἰγαλεων καὶ στὸ δυτικὸ τμῆμα τοῦ λεκανοπεδίου τῆς Ἀθῆνας. Ὁρυκτὸς πλοῦτος, τόμ. 13, σ.σ. 21-31, 'Αθῆνα, 1981.
- ΕΘ.Ι.Γ.Μ.Ε. (Κ. Ζάχος καὶ Γ. Μαράτος:) Ἐπεξηγηματικὸν τεῦχος τοῦ μεταλλογενετικοῦ χάρτου, 'Εκδ. Ι.Γ.Ε.Υ. 1965, 'Αθῆναι, 1973.
- N. Epitropou, D. Constantinides and D. Bitzios, The Marlou Pb-Zn Mineralization of Thasos Island (Greece). Mineral Deposits of the Alps and of the Alpine Epoch in Europe (ed. by H.-J. Schneider) Springer Verlag, Berlin Heidelberg, 1983.
- K. Ζάχος καὶ Γ. Μαράτος, Μεταλλογενετικὸς χάρτης τῆς Ἐλλάδος. κλ. 1: 1.000.000, 'Αθῆναι, 1965.
- D. Haralambous, Ein Profil vom Karbon bis Trias auf Hydra; Bull. Geol. Soc. of Greece, Bd. V, S. 20, Athens, 1962.
- Η. Σ. Καλογερόπουλος, Π. Β. Γαλανόπουλος καὶ Α. Π. Ἡλίας, Χημισμὸς καὶ τεκτονικὸ περιβάλλον τῶν βασικῶν ἡφαιστειακῶν πετρωμάτων τῆς περιοχῆς Μολάων, ΝΑ Πελοπόννησος καὶ ἡ σχέση τους μὲ συμπαγὴ θειούχο μεταλλοφορία. ΙΓΜΕ Γεωλ. Γεωφ. Μελ. (τόμος ἑκτὸς σειρᾶς), σελ. 169-180, 'Αθῆνα, 1986.
- Κ. Κατιρτζόγλου, Μεταλλογένεση τῆς τριτογενοῦς θειούχου μεταλλοφορίας περιοχῆς Αἰσύμης, Νομοῦ Εβρου. Διδακτ. διατρ. Πανεπ. 'Αθηνῶν, 1986.

- Γ. Κατσικάτσος, Οι τριαδικοί σχηματισμοί τῆς Κεντρικής Εύβοιας (πρόδρομος ἀνακοίνωση). Ann. Geol. d. Pays Hell., v 22, p.p. 62-76, Athens, 1970.
- Γ. Κατσικάτσος, Ἡ ἡλικία τοῦ μεταμορφωμένου συστήματος τῆς νοτίου Εύβοιας καὶ στρωματογραφικὴ διάρθρωσις αὐτοῦ (πρόδρομος ἀνακοίνωσις). Π.Α.Α. 44, 'Αθήνα 1971.
- L. Kober, Beiträge zur Geologie von Attika. Sitz. Akad. Wiss. Wien, Math. Nat. Kl., Abt. I, 138, p.p. 209-237, 1929.
- A. Kokkinakis, Zum Faltenbau des Symvolongebirges und des gebietes von Kavala (Griechish - Ostmakedonie) Ann. Geol. d. Pays Hellen XXX, p. 398-420 Athen 1980.
- Π. Κόκκορος, Οι πρασινολιθικοί ἡφαιστειακοί σχηματισμοί τοῦ Δευτερογενοῦς εἰς τὴν Λαυρεωτικήν. Π.Α.Α. 3, σ. 604-8., 'Αθήναι, 1928.
- Π. Κόκκορος, Οι πρασινολιθικοί ἡφαιστειακοί σχηματισμοί τοῦ Δευτερογενοῦς εἰς τὴν Λαυρεωτικήν. Π.Α.Α. 3, σ. 604-8., 'Αθήναι, 1928.
- K. Κτενᾶς, 'Ἐρευναὶ περὶ τῆς μεταλλογένειας τῆς Ν.Δ. Αἰγαίου. Ἐπιστ. Ἐπετηρίς Πανεπ. Ἀθηνῶν 13.6. σ. 85-133, 'Αθῆναι, 1917.
- M. Leleu, Donees nouvelles sur la paleogeographic et les rapports des series metallifères du Laurion Attique (Grece). C.R.Ac.Sc. Paris 262, p. 2008-2011, 1966.
- M. Leleu, Essai d'interpretation thermodynamique en metallogenie les mineralisation karstiques du Laurium (Grece). Bull. du B.R.G.M. n° 4, 1969.
- M. Leleu et M. Neumann, L'age des formations d'Attique (Grece): du paleozoïque au mesozoïque. C. R. Acad. Sc. Paris, Ser. D., p. 1361-3, 1969.
- M. Leleu, A. Morikis et P. Picot, Sur des mineralisations de type skarn du Laurion (Grece). Mineral Depos. (Berl.) 8, p. 259-263, 1973.
- R. Lepsius, Geologie von Attica. Berlin, 1893.
- N. Λιάτσικας, I. Σολωμός, Σ. Κογεβίνας καὶ Γ. Ἀνδρεάκος, 'Ο ὄρυκτος Πλοῦτος τῆς Ἐλλάδος. ἔκδ. UNRRA 'Αθῆναι, 1947.
- E. Mack, Die Goldvorkommen in Griechisch-Makedonien. Zeitschrift für Erzbergbau und Metallhüttenwesen, Band XVII Heft 1, S. 9-18, 1964.
- Γ. Μαράκης, Παρατηρήσεις ἐπὶ τῆς ἡλικίας τῆς θειούχου μεταλλογένεσεως εἰς τὴν περιοχὴν τῶν Κυκλαδῶν. Ann. Geol. d. Pays Hellen. 19, p.p. 695-700, 'Αθῆναι, 1968.
- Γ. Μαρίνος καὶ W.E. Petrascheck, Λαύριον. Γεωλ. καὶ Γεωφ. Μελέται I.G.E.Y. Τόμ. IV ἀρ. 1, 'Αθῆναι, 1956.
- Γ. Μαρίνος, Γ. Κατσικάτσος, E. Γεωργιάδου-Δικαιούλια καὶ P. Μίρκου, Τὸ σύστημα τῶν σχιστολίθων 'Αθηνῶν. I. Στρωματογραφία καὶ Τεκτονική. Ann. Geol. d. Pays Hellen. 23 p.p. 183-216, Athens, 1971.
- Γ. Μαρίνος, Γ. Κατσικάτσος, καὶ P. M. Μίρκου-Περιποπούλου, Τὸ σύστημα τῶν σχιστολίθων 'Αθηνῶν. II. Στρωματογραφία καὶ Τεκτονική. Ann. Geol. d. Pays Hellen. 25 p.p. 439-444, Athens, 1974.

- Η. Μαριολάκος καὶ Δ. Παπανικολάου, Παρατηρήσεις ἐπὶ τῆς τεκτονικῆς τοῦ δυτικοῦ Πεντελικοῦ-Αττικῆς. Δ.Ε.Γ.Ε. τ.Χ., τεῦχος 2, σ. 134-179, 'Αθῆναι, 1973.
- Ν. Μελιδώνης καὶ Δ. Κωνσταντινίδης, Μελέτη τῆς θειούχου μεταλλοφορίας τῆς νήσου Σύρου (Κυκλαδες). Εἰδικαὶ μελέται ἐπὶ τῆς Γεωλογίας τῆς Ελλάδος, Νο 12. Ι.Γ.Μ.Ε., 'Αθῆναι, 1979.
- Λ. Μούσουλος, Τὸ πρόβλημα τῆς ἔκμεταλλεύσεως τοῦ ὑπόγειου πλούτου τῆς Ελλάδος. 'Αθῆναι, 1962.
- W. H. Neubauer, Geologie der blei-zinkreichen Kieslagerstätten von Kassandra. (Chalkidike, Griechenland). Berg-und Hüttenmänische Monatshefte, 102. Jahrgang Heft 1/2, 1957.
- Ν. Νικολάου, 'Η Γρανιτική διείσδυση ἐν τῇ περιοχῇ Στρατωνίου-Ολυμπιάδος καὶ ἡ μετ' αὐτῆς συνδεομένη Μεταλλογένεσις. Διατρ. ἐπὶ Διδακτορίᾳ. Ann. Geol. d. pays Hell. 11 p. 214-265, 'Αθῆναι.
- G. Papadeas, Geologie von Marathon. Unf. Dipl. Arb. Univ. München, 1967.
- G. Papadeas, Zur stratigraphie und Alterstellung der metamorphen Serien NE von Athen (Marathon). Π.Α.Α. τόμ. 44, σ. 10-18 'Αθῆναι, 1969.
- G. Papadeas, Zur Geologie der Kristallinen Gesteine von Marathon B.G.S. Greece, X, p. 12-64, Athens, 1973.
- Γ. Παπαδέας, 'Η Στρωματογραφία καὶ ἡ ἡλικία τῶν μεταμορφωμένων πετρωμάτων τῆς ΒΑ Αττικῆς. Δ.Ε.Γ.Ε. τόμ. 18, σελ. 59-81, 'Αθῆνα, 1986.
- Σ. Π. Παπασταύρου, Οἱ ἑλληνικοὶ βωξίτες (περιγραφή - κατάταξη - κατανομὴ - προβλήματα). Κοιτασματολογικὲς μελέτες Νο 15 Ι.Γ.Μ.Ε., 'Αθῆνα 1986.
- 'Ηλ. Παρασκευαστίδης καὶ Π. Χωριανοπούλου, Μιὰ τομὴ ἀπὸ τὸ βουνὸ Αἰγάλεω. 'Ο Αθηναϊκὸς σχιστόλιθος, οἱ λόφοι τῆς Αθήνας. Δ.Ε.Γ.Ε. τόμ. XIII/2, σ.σ. 116-141, 'Αθῆναι, 1979.
- G. Paraskevopoulos, Die gesteine des horizontes des Kaessariani schiefers in Pentelikongebirge. Ann. Geol. d. Pays Hell., vol. 8, p.p. 233-245, Athens, 1957.
- G. Paraskevopoulos, Die umrandung des Attisch-Kykladischen Massivs im Gebiet zwieschen Pentelikon und Parnesgebirge. Ann. Geol. d. Pays Hell., 14, p. 305-323, Athens, 1963.
- W. E. Petrascheck, Die Metallogenese von Laurion-Granitischer Herd oder Paläokarst? Ann. Geol. d. Pays Hell. XXVIII, p. 17-27, Athens, 1977.
- C. Renz, Der Nachweis von Karbon und Trias in Attika. Central bl. f. Min Geol. u. Paläont. No 3, Stuttgart, 1909.
- C. Renz, Die vorneogene Stratigraphie der normalsedimentären Schichten Griechenlands. I.G.S.R., Athen, 1955.
- B. Roumbanis, Geological research on the Parnes Mountain range. Ann. Geol. p. Hell. XII, Athen, 1961.
- R. Schmid, Descriptive Nomenclature and Classification of Pyroclastic Deposits and Fragments. Geol. Rund. Bd 70, H 2, p. 794-799, 1981.

- H. Schneiderhöhn, Erzlägerstätten. Stuttgart, 1962.
- N. Σκαρπέλης, Μεταλλογένεση συμπαγών θειούχων μεταλλευμάτων και Πετρολογία τῆς ἔξω-τερικῆς μεταμορφικῆς τεκτονικῆς ζώνης τῶν 'Ελληνίδων (ΝΑ Πελοπόννησος). Διδακτ. διατριβή. 'Αθήνα, 1982.
- Σ. Σκουνάκης. Τὰ ἐκρηξηγενὴ πετρώματα τοῦ λεκανοπεδίου 'Αθηνῶν καὶ ἡ μετ' αὐτῶν συνδεδεμένη μεταλλογένεσις. Διδακτ. διατριβή, 'Αθήνα, 1972.
- 'Αθ. Τάταρης, Παρατηρήσεις ἐπὶ τῆς δομῆς τῆς περιοχῆς Σκαραμαγκά-'Ορους Αἰγάλαιω-Πειραιῶς-'Αθηνῶν ('Αττικῆς) Δ.Ε.Γ.Ε. τόμ. VII, τεύχ. 1, σ. 52-58, 'Αθήνα, 1966.
- 'Αθ. Τάταρης, Νεώτερα πορίσματα ἐπὶ τῆς Γεωλογίας τῆς νήσου Σαλαμῖνος καὶ τῆς περιοχῆς 'Αττικῆς. Δ.Ε.Γ.Ε. τόμ. IX, τ. 2, σ. 482-514, 'Αθήνα, 1972.
- J. Trikkalinos, Beiträge zur Erforschung des tektonischen Baus Griechenlands. Über die schichtenfolgen und den Bau Attikas. Festschr. z. 60 Geburstag von H. Stille s. 303-314, Stuttgart, 1936.
- J. Trikkalinos, Beiträge zur Erforschung des tektonischen Baus Griechenlands. Über das Alter der Kristallinen Gesteine Griechenlands. PAA. 25, p. 500-518, Athens, 1950.
- I. Τρικκαλινός, 'Η ἡλικία τῶν μεταμορφωσιγενῶν πετρωμάτων τῆς 'Αττικῆς. Ann. Geol. d. Pays Hell. VI. p. 193-198, Athen, 1955.
- I. Τρικκαλινός, α. Συμβολὴ εἰς τὴν ἔρευναν τῆς τεκτονικῆς δομῆς τῆς 'Ελλάδος. Περὶ τῆς παρουσίας εἰς τὴν περιοχὴν Πανάκτου Οἰνόης (Μάζι-'Οσίου Μελετίου) τῆς ὁροσειρᾶς Πάρνηθος-Κιθαιρῶνος λιθανθρακοφόρων στρωμάτων καὶ τόφων, τὰ δόποία κεῖνται ἀσυμφώνως ἐπὶ τοῦ κρυσταλλοσχιστώδους Π.Α.Α., 33, σ. 96-102, 'Αθῆναι, 1958.
- J. Trikkalinos, Beiträge zur Erforschung des tektonischen Baus Griechenlands. Stratigraphische und Tektonische Untersuchungen im Gebiete von Oion (Bogiati) und Ostabhang von Parnes-gebirge. Ann. Geol. d. pays Hell. V, 9, p.p. 270-275, Athens, 1959.
- Π. Τσαμαντούριδης, Μελέτη τῆς Θειούχου Μεταλλοφορίας τῆς περιοχῆς 'Ανατολικοῦ Πατέου (Ν. Κιλκίς). Κοιτασματολογικὲς Μελέτες, No 13, ΙΓΜΕ, 1980.
- Α. Δ. Χαραλάμπους, Γεωλογικὴ καὶ Φυσικοϊστορικὴ βιβλιογραφία τῆς 'Ελλάδος. 3 τόμοι, 1500-1979, ΙΓΜΕ, 'Αθήνα, 1961-80.

SUMMARY

**Geological and Tectonic evolution in Attica and the Variscan mixed sulfide
e.t.c. mineralization in Greece**

During the pre mid-Carboniferous period (mid-Devonian?) and after the deposition of the lower marble of Attica (Penteli - Lavrion) a calc-alcaline volcanic activity, covered extensive areas of Eastern Grece. By the end of this volcanic activity, hydro-thermal solutions rich in Pb, Zn, Fe and many other elements were created and deposited at the bottom of the sea forming submarine exhalative volcanosedimentary ores.

Due to the Variscan orogeny that followed the area was folded in a NE-SW direction and uplifted.

The ridge produced, due to mechanical and chemical erosion (during the Upper Paleozoic and Mesozoic time), supplied the remaining basins with sediments riched in ores. This resulted in the formation of widespread epigenetic continental and marine sulfide deposits of lead-zinc-iron as well as manganese, bauxites and other minerals.

The clastic and carbonate sediments deposited during the Carboniferous, followed the existing Variscan morphology. The Permian deposits due to the pre-Triassic uplifting movements and erosion, outcrop only in certain areas. The sediments of the lower - middle and upper Triassic consist of mica and other schists, limestones and dolomites.

In the upper Triassic - Jurassic period we have the deposition of continental sediments (Attica). In the central and south Attica occurs as residual paleo-erosion formations these of the Jurassic times (ophiolites and others), on top of which overlie unconformably the upper Cretaceous formations.

The middle-and postalpine tectonism created folds of NW-SE, NE-SW and N-S directions and faults of NE-SW, E-W and NW-SE directions respectively.